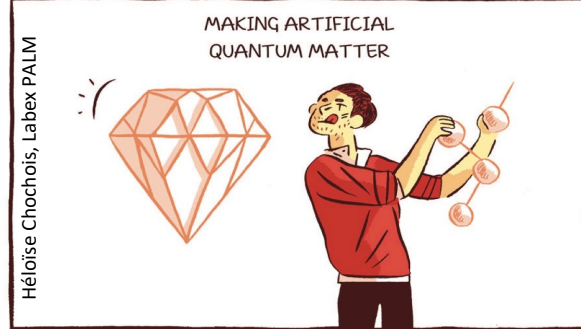


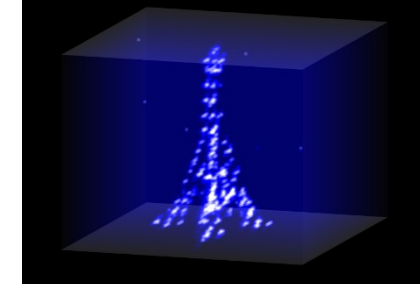
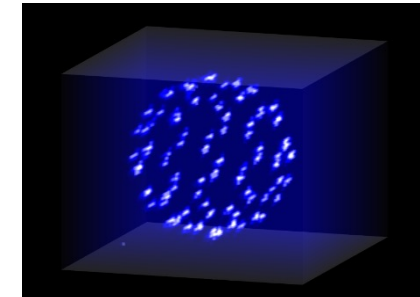
Introduction à la simulation quantique



Antoine Browaeys

*Laboratoire Charles Fabry,
Institut d'Optique, CNRS, FRANCE*

IMT Nantes, 10 novembre 2022



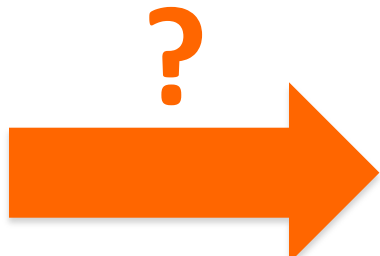
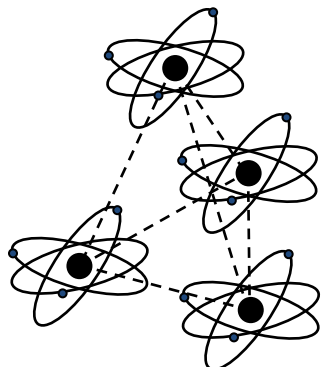
Le programme...

1. Physique à N-corps, simulation quantique et systèmes quantiques synthétiques
2. Exemples de simulateurs quantiques: ions et atomes
3. Exemples de simulation quantique
 - A. Exploration du diagramme des phases
 - B. Dynamique hors-équilibre

Le problème à N-corps en physique

But: comprendre ensembles de particules quantiques en interaction

Microscopique



Lois quantiques

Macroscopique



Ce qu'il faut résoudre:

$$i\hbar \frac{\partial \Psi}{\partial t} = H_{\text{tot}} \Psi$$

$$H_{\text{tot}} = \sum_{i=1}^N -\frac{\hbar^2}{2m_i} \nabla_i^2 + \sum_{i=1}^N \sum_{j \neq i} \frac{q_i q_j}{r_{ij}} + \frac{\mu_B^2}{r_{ij}^3} \mathbf{s}_i \cdot \mathbf{s}_j$$

$N \approx 10^{23}$!!!

Complexité quantique: difficulté exponentielle

Fonction d'ondes à N -corps: $\Psi = \Psi(1, 2, \dots, N)$

« Taille » de la fonction d'onde ??

Exemple: particules à 2 d. de liberté (spin...) $\psi_i = \begin{pmatrix} a \\ b \end{pmatrix}$

$\Rightarrow \Psi$ nécessite 2^N composantes

Coder sur ordi. Ψ pour $N = 40 \Rightarrow 2^{50} \sim 10^{15} = \text{1000 To RAM !!}$

Record de calcul *ab-initio* (2022) $N \sim 50$

Des méthodes d'approximation...

$$H_{\text{tot}} = \sum_{i=1}^N \frac{p_i^2}{2m_i} - \frac{e^2}{r_i} + \sum_{i=1}^N \sum_{j \neq i} \frac{e^2}{r_{ij}}$$

Approx 1 : négliger interactions (mauvaise...)

$$H_{\text{tot}} = \sum_{i=1}^N H_i \Rightarrow \Psi(1, 2, \dots, N) = \psi_1 \psi_2 \dots \psi_N, \quad H_i \psi_i = E_i \psi_i$$

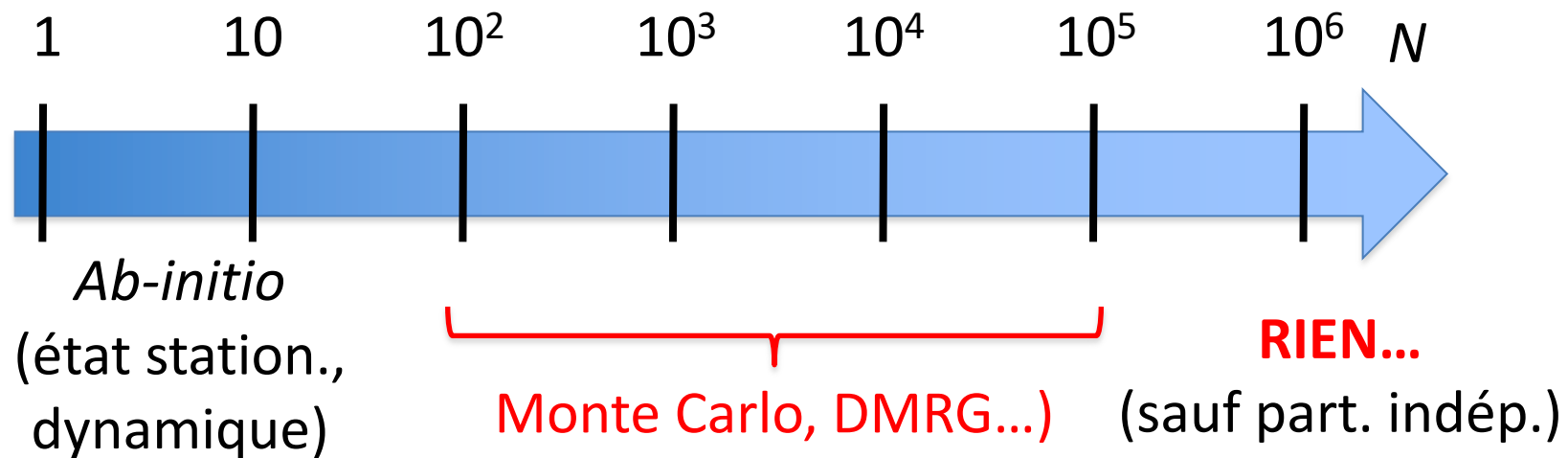
Approx 2 : champ moyen + perturbation (phys. atom, nucléaire, moléculaire, théorie des bandes phys. solide...)

$$H_{\text{tot}} = \sum_{i=1}^N \frac{p_i^2}{2m_i} + V(r_i) + \left[\sum_{i=1}^N \sum_{j \neq i} \frac{e^2}{r_{ij}} - \frac{e^2}{r_i} - V(r_i) \right]$$

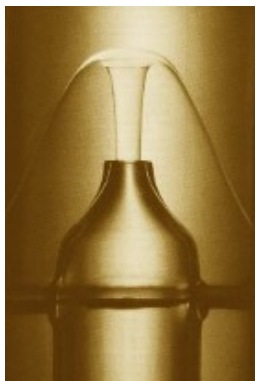
Méthode + raffinée : Monte Carlo Quantique, fonctionnel densité, DMRG, t-DMRG, Tensor Networks, Matrix Product states...

... qui ne marchent pas toujours !

Quand **interactions dominent** (systèmes **fortement corrélés**)



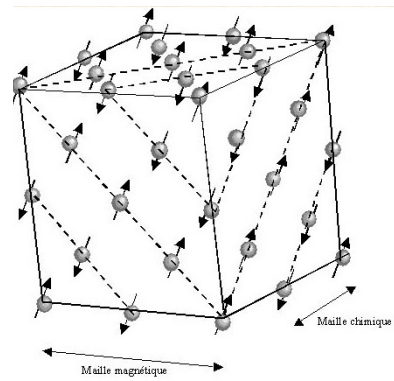
Exemples



superfluidité



supraconductivité

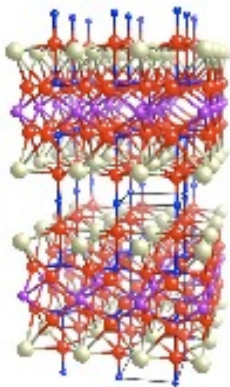
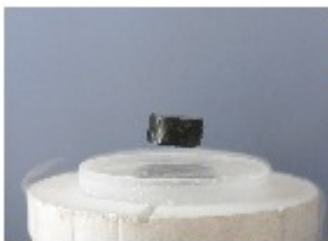


magnétisme



neutron star

Simulation quantique: exemple de démarche



Observation phénomène compliqué
Ex: supraconductivité haute T_c

Expérience sur
vrai système

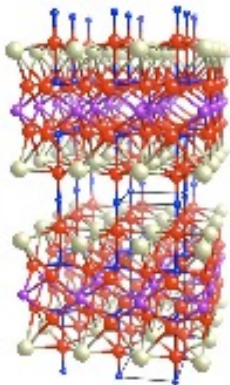


Calcul trop durs...

Hamiltonien modèle

$$H_{\text{model}} = - \sum_{i,j} J_{ij} a_i^\dagger a_j + \sum_i g(a_i^\dagger)^2 (a_i)^2$$

Simulation quantique: exemple de démarche



Observation phénomène compliqué
Ex: supraconductivité haute T_c

Expérience sur
vrai système

simplification

“Préparable”

$$|\psi(t)\rangle = e^{-\frac{i}{\hbar} H_{\text{model}} t} |\psi(0)\rangle$$

Hamiltonien modèle

$$H_{\text{model}} = - \sum_{i,j} J_{ij} a_i^\dagger a_j + \sum_i g(a_i^\dagger)^2 (a_i)^2$$

Lab...

Résultat mesure sur
simulateur: état
fondamental = supra?

Simulateur quantique =
Ingénierie d'atomes
gouvernés par H_{model}

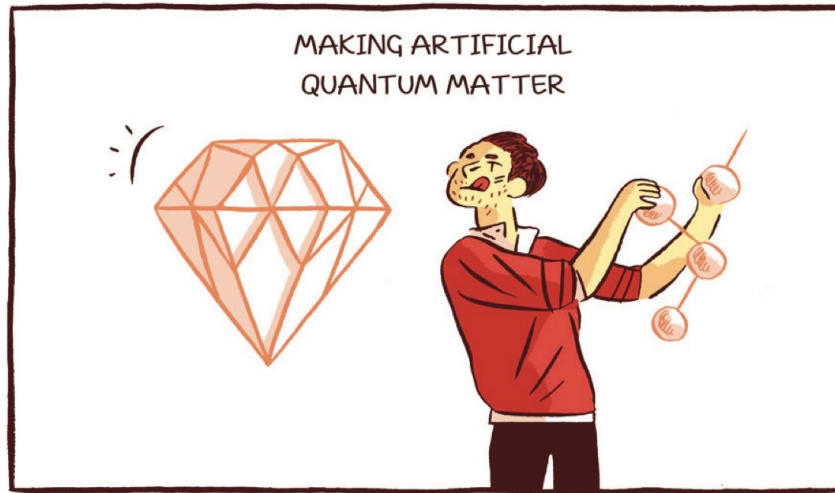
Problème à N-corps et systèmes quantiques synthétiques



R.P. Feynman

Simulating Physics with Computers, Int. J. Theo. Phys. **21** (1982)

Héloise Chochois, Labex PALM



i.e. systèmes quantiques **contrôlés** réalisant des
hamiltoniens à *N*-corps (y compris artificiels...)

Plus grande programmabilité que systèmes réels
(géométrie, paramètres...)

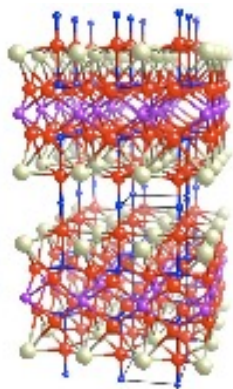
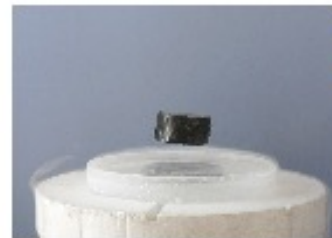
+

Nouvelles sondes, méthodes d'étude (ex.: dynamique...)

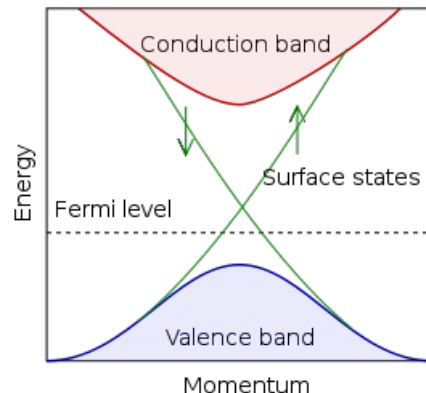
Qu'est ce que l'on peut simuler et à quoi ça peut servir...?

Supra-conductivité haute T_c

Vers le stockage de l'électricité?



Propriétés de conduction des métaux influence du désordre et des interactions



Vers des métaux meilleurs conducteurs électriques?

Magnétisme quantique

vers de nouveaux aimants pour moteurs électriques, stockage information...?

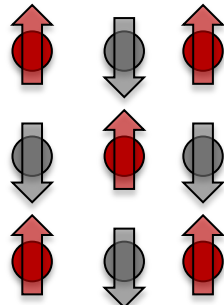


STOM



Les systèmes à N-corps les plus simples: spins en interaction

Particules de spin 1/2 sur un réseau:



$$H \sim J \mathbf{S}_i \cdot \mathbf{S}_j$$

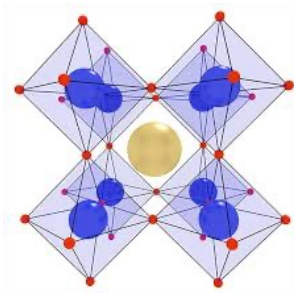
Ising

$$\hat{H} = \sum_{i \neq j} J_{ij} \hat{\sigma}_z^{(i)} \hat{\sigma}_z^{(j)}$$

XY model

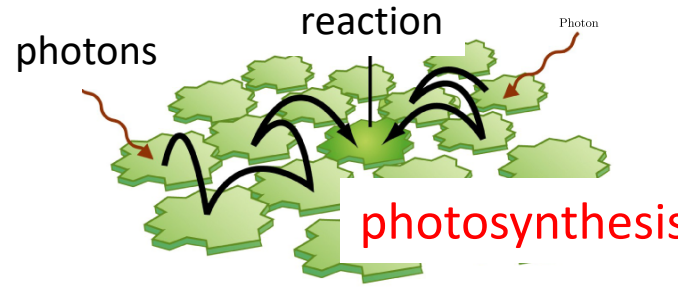
$$\hat{H} = \sum_{i \neq j} J_{ij} (\hat{\sigma}_i^+ \hat{\sigma}_j^- + \hat{\sigma}_i^- \hat{\sigma}_j^+)$$

Magnétisme

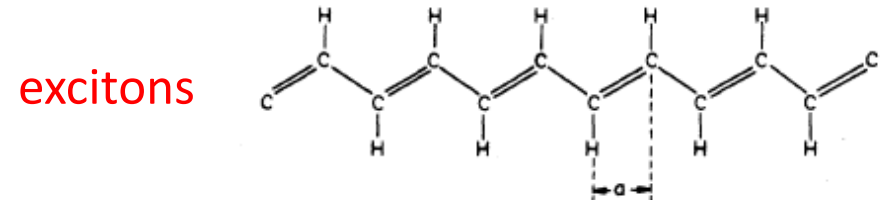


Perovskite
 $\text{Y}_2\text{Ti}_2\text{O}_7$

Propriétés de transport



Light scattering



Modèles génériques pour étude de transition de phase, dynamique...

Le programme...

1. Physique à N-corps, simulation quantique et systèmes quantique synthétiques
2. Exemples de simulateurs quantiques: ions et atomes
3. Exemples de simulation quantique
 - A. Exploration du diagramme des phases
 - B. Dynamique hors-équilibre

Le programme...

1. Physique à N-corps, simulation quantique et systèmes quantique synthétiques

2. Exemples de simulateurs quantiques
 - A. Ions piégés
 - B. Atomes ultra-froids dans des réseaux optiques
 - C. Atomes froids dans des pinces optiques

3. Exemples de simulation quantique

Manipulation de particules individuelles: Le point de vue d'un père fondateur...

..., nous ne faisons **jamais** d'expériences avec **juste un** électron, un atome ou une (petite) molécule. Dans des expériences de pensée, nous supposons parfois que nous le faisons ; cela conduit invariablement à des conséquences **ridicules**.



E. Schrödinger
British Journal of the Philosophy
of Science III (10), (1952)

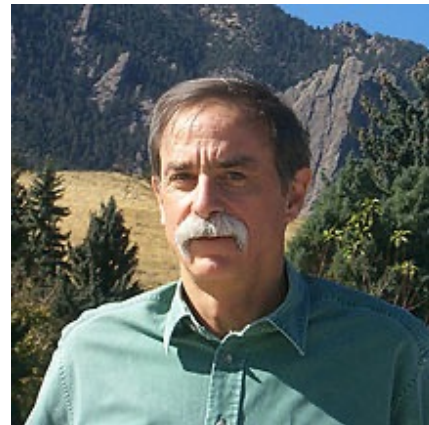
60 ans plus tard...



2012



S. Haroche (France)

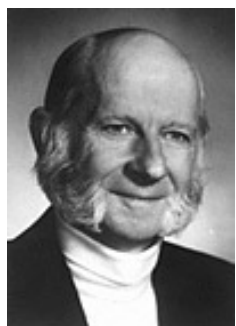


D. Wineland (USA)

« pour le développements de méthodes expérimentales permettant de mesurer et de manipuler des systèmes quantiques individuels »

Piégeage de particules uniques: les débuts...

H. Dehmelt



1989



W. Paul: techniques de piégeage d'ions

1^{er} ion unique:

PHYSICAL REVIEW A

VOLUME 22, NUMBER 3

SEPTEMBER 1980

Localized visible Ba⁺ mono-ion oscillator

W. Neuhauser, M. Hohenstatt, and P. E. Toschek

Institut für Angewandte Physik I der Universität Heidelberg, D-69 Heidelberg, Federal Republic of Germany

H. Dehmelt

Department of Physics, University of Washington, Seattle, Washington 98195

(Received 11 September 1979)

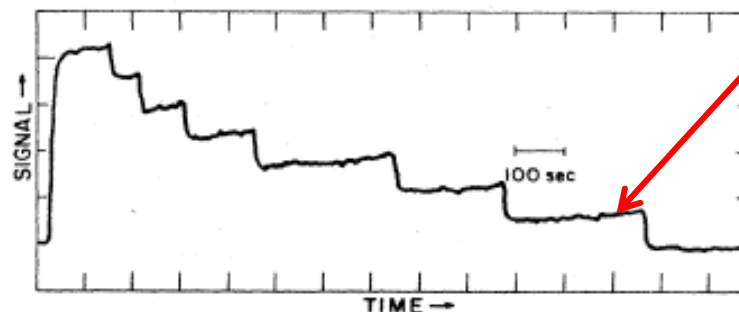
Monoelectron Oscillator

D. Wineland, P. Ekstrom, and H. Dehmelt

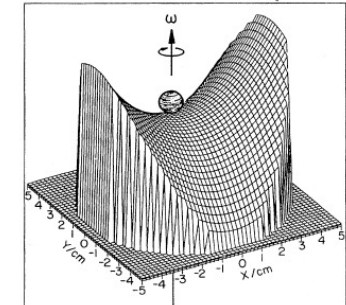
Department of Physics, University of Washington, Seattle, Washington 98195

(Received 13 August 1973)

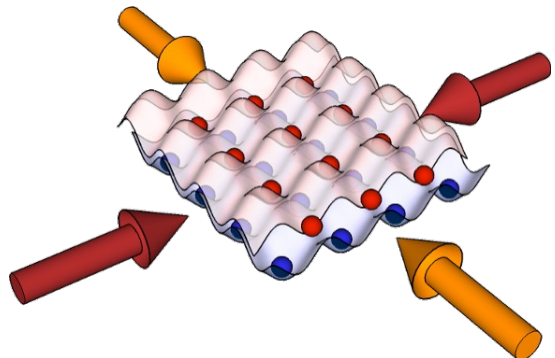
Electron unique



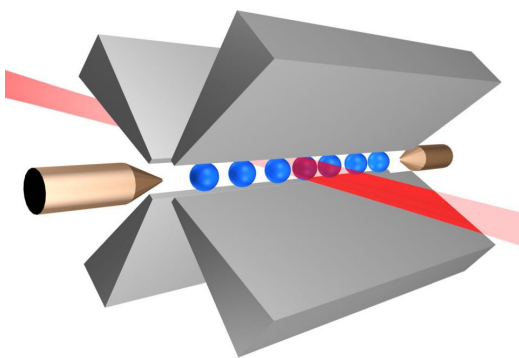
Potential in the Ion Trap



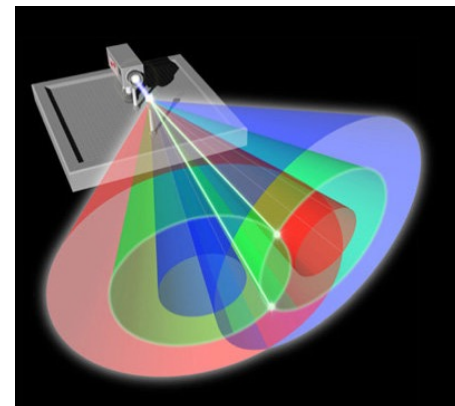
Ingénierie Quantique avec des systèmes *individuels*



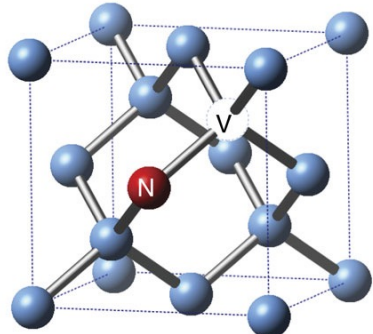
Atomes et molécules froides



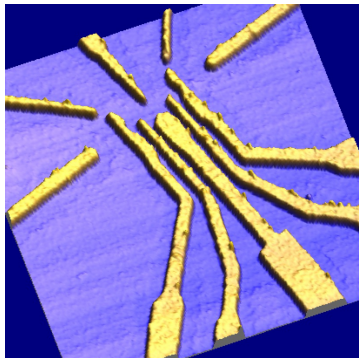
Ions piégés



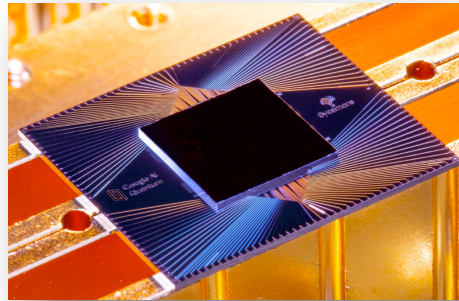
Photons



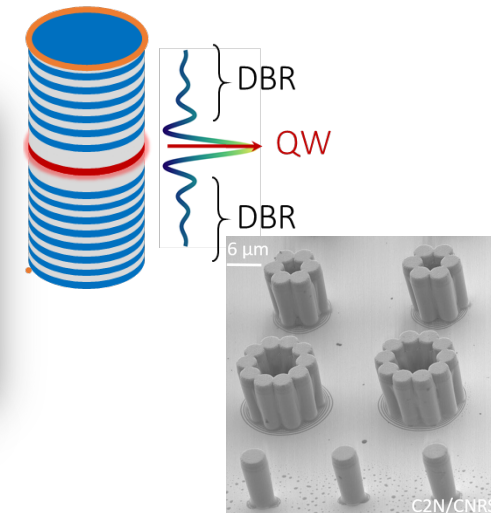
Centres NV



Spin électronique

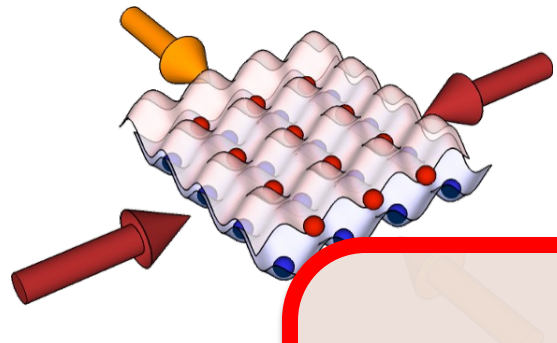


Circuits supracond.

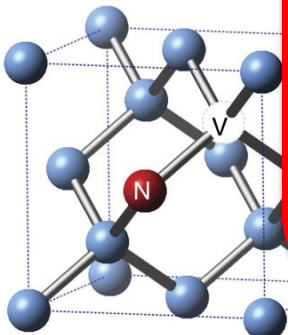


Polaritons (½ cond.)

Ingénierie Quantique avec des systèmes *individuels*



Atomes et molécules froides



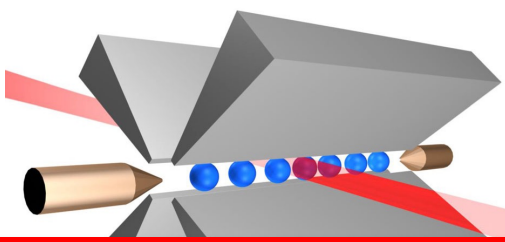
Centres NV

Système à 2 niveaux :

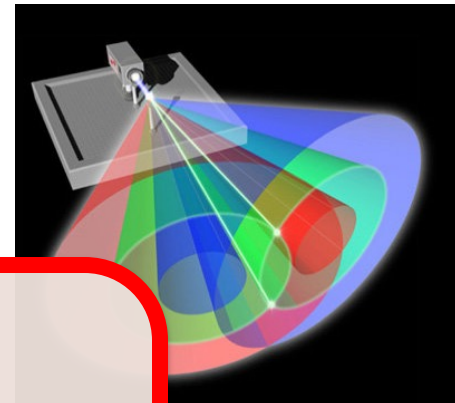
$$\begin{array}{c} \text{---} |e\rangle \\ \text{---} |f\rangle \end{array}$$

Adressable + interactions contrôlées

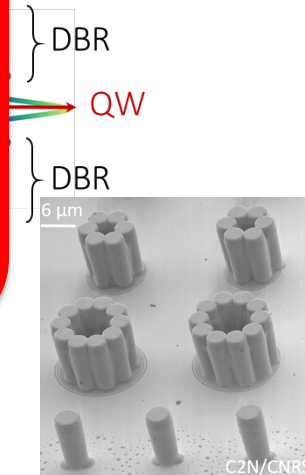
Sycamore processor, Google Inc.



Spin électronique



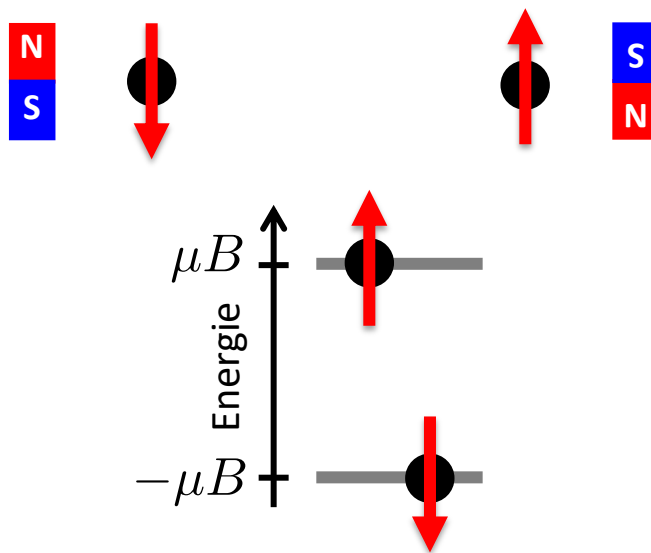
Photons



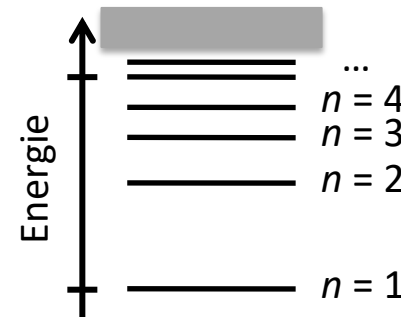
Polaritons (½ cond.)

Correspondance entre système à 2 niveaux et spin 1/2

Spin $\frac{1}{2}$ dans un champ B

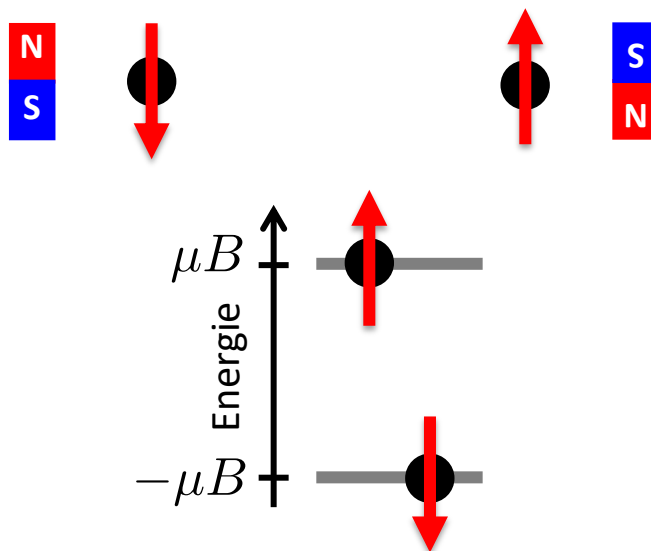


Atomes

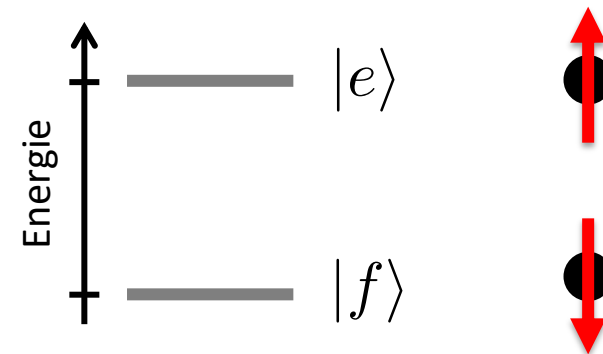


Correspondance entre système à 2 niveaux et spin 1/2

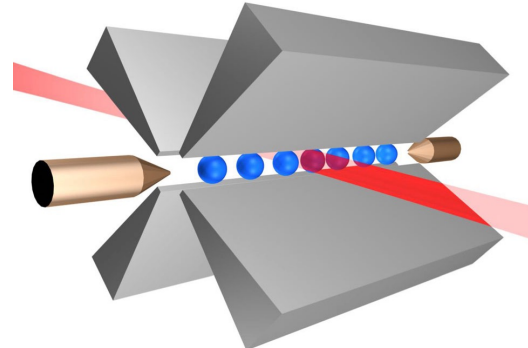
Spin $\frac{1}{2}$ dans un champ B



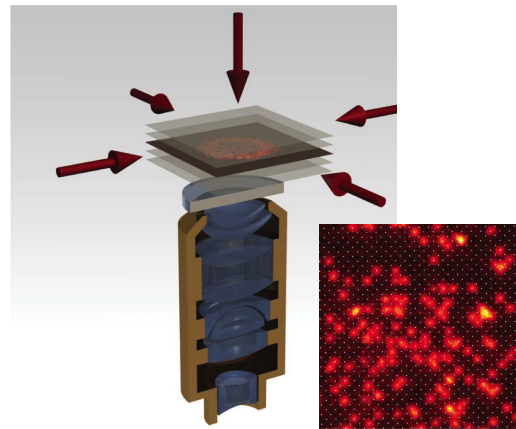
Atomes « à 2 niveaux »



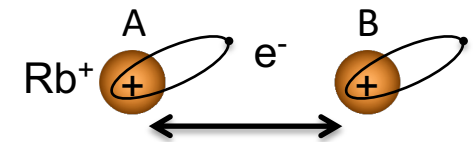
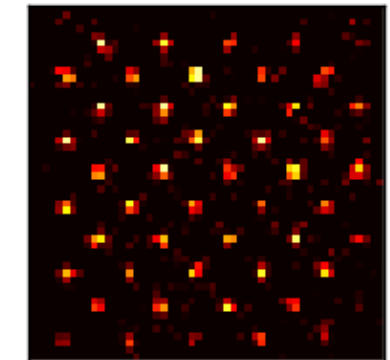
Exemples de réseaux d'atomes individuels



Ions piégés



Atomes dans
réseaux optiques



Atomes dans
pinces optiques

Scalable: plus de 100 atomes

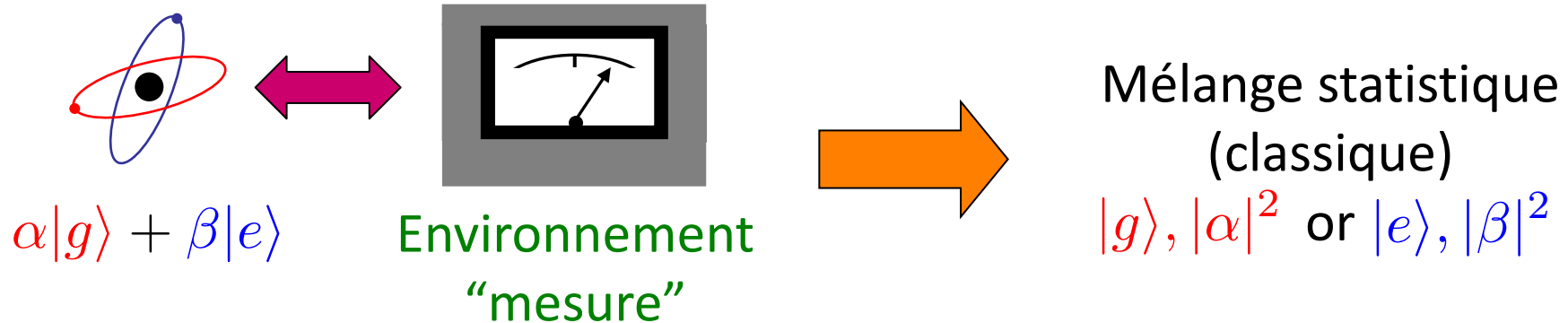
Adressable: manipulations et mesures locales

$$\langle \sigma_i^\alpha \rangle, \langle \sigma_i^\alpha \sigma_j^\beta \rangle, \dots$$

Programmable: contrôle géométrie, interactions...

Pourquoi ingénierie quantique est-elle si difficile ?

Superposition quantique = **très fragile** !! Décoherence



Plus c'est gros, plus ça « décohère »...



Le programme...

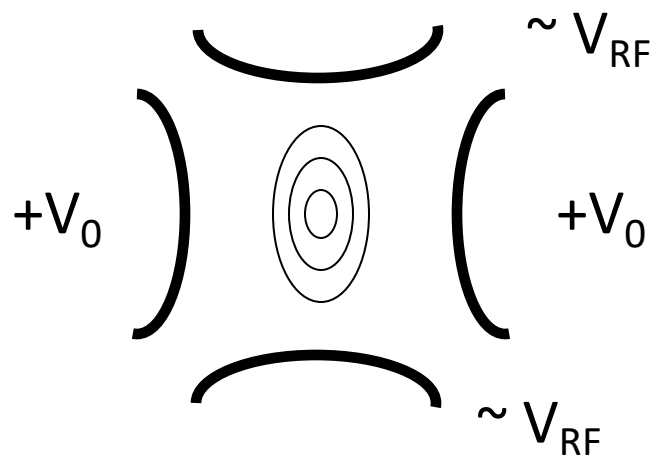
1. Physique à N-corps, simulation quantique et systèmes quantique synthétiques

2. Exemples de simulateurs quantiques
 - A. Ions piégés
 - B. Atomes ultra-froids dans des réseaux optiques
 - C. Atomes froids dans des pinces optiques

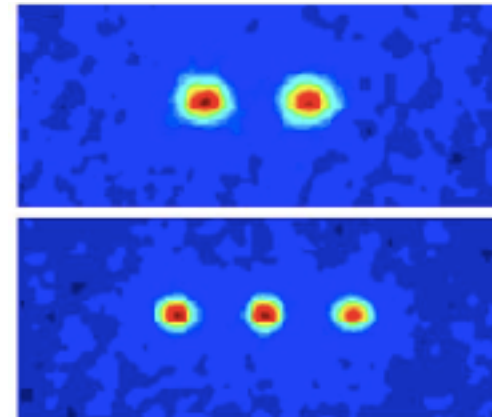
3. Exemples de simulation quantique

Piégeage d'ions refroidis par laser

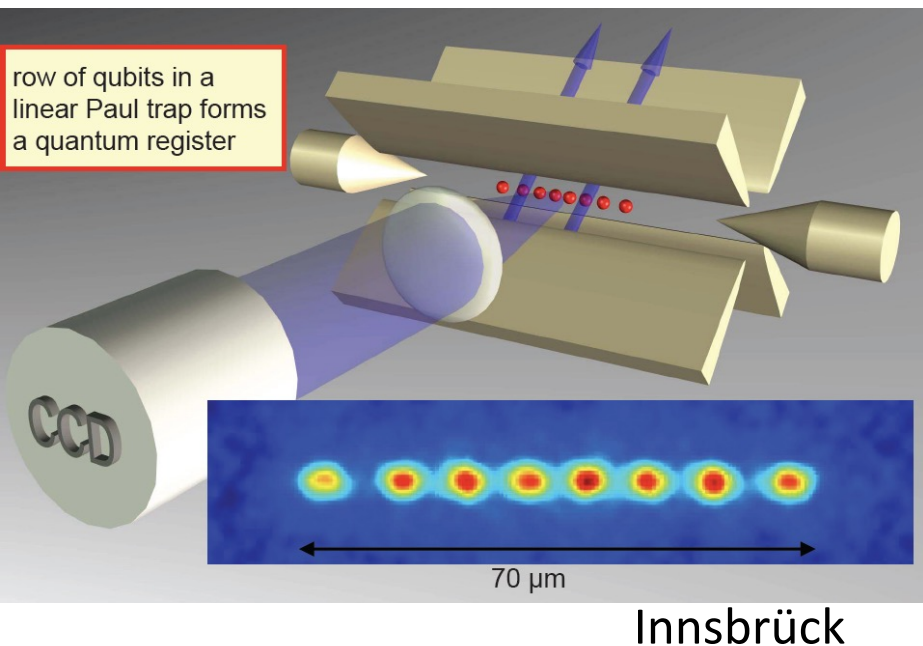
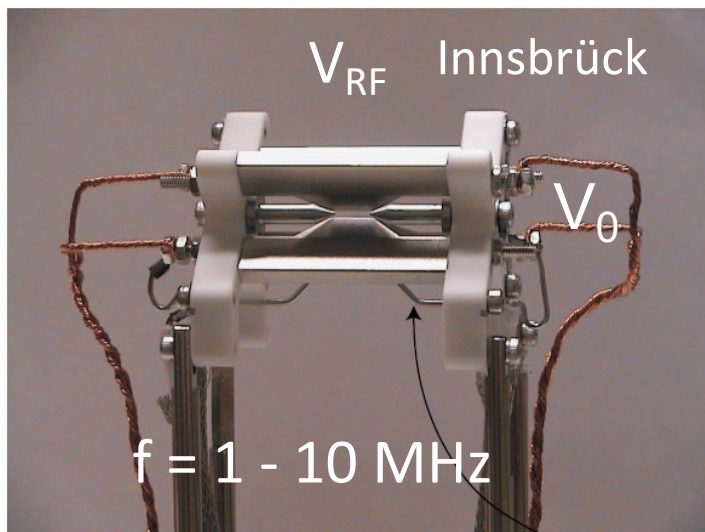
Piège de Paul (RF + statique)



Répulsion de Coulomb
⇒ Cristal ionique

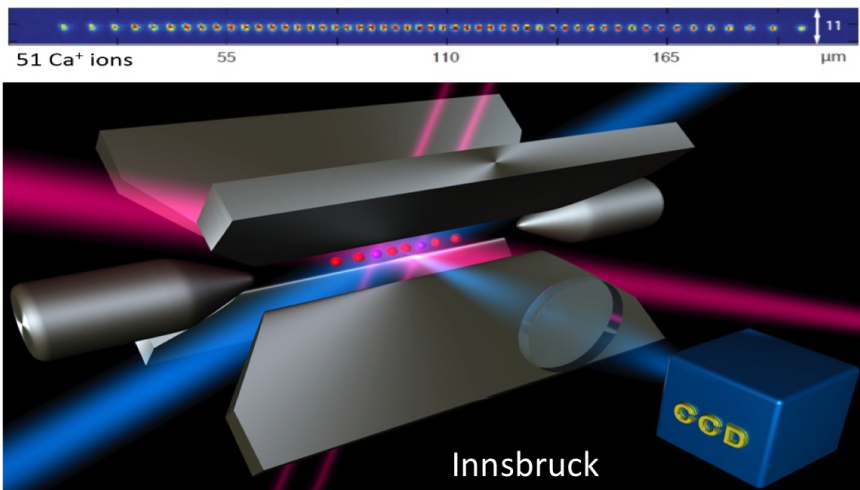


Piège de Paul linéaire

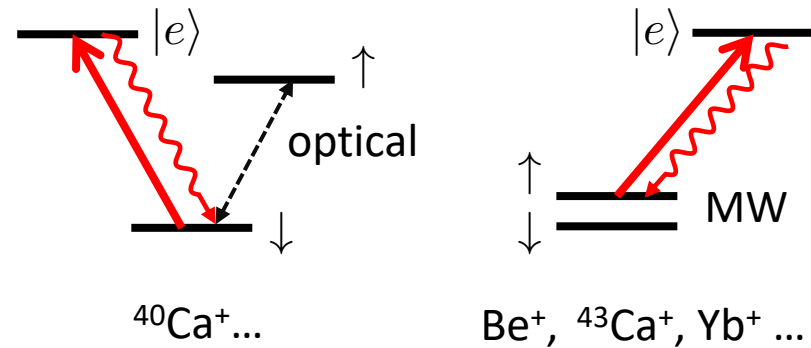


Simulateur à ions piégés: modèles de spin

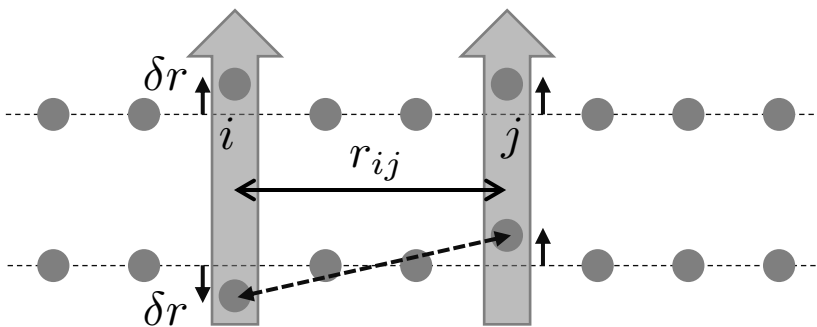
Cristal de Coulomb



« Coder » le spin 1/2



Force lumineuse dépendant de l'état



Les Hamiltoniens

$$H_{XY} = \sum_{i,j} J_{ij} (\hat{\sigma}_i^+ \hat{\sigma}_j^- + \hat{\sigma}_i^- \hat{\sigma}_j^+)$$

$$H_{\text{Ising}} = \sum_{i,j} J_{ij} \hat{\sigma}_i^x \hat{\sigma}_j^x + \frac{\delta}{2} \sum_i \hat{\sigma}_i^z$$

$$J_{ij} \approx \frac{J_0}{|i-j|^\alpha}, \quad \alpha = 0.5 - 2.5$$

Le programme...

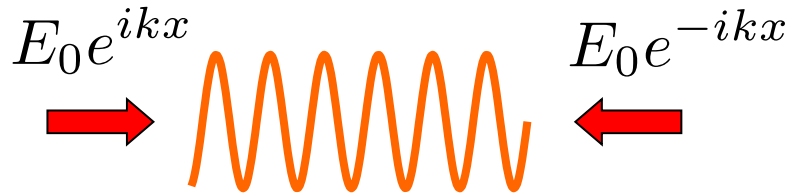
1. Physique à N-corps, simulation quantique et systèmes quantique synthétiques

2. Exemples de simulateurs quantiques
 - A. Ions piégés
 - B. Atomes ultra-froids dans des réseaux optiques
 - C. Atomes froids dans des pinces optiques

3. Exemples de simulation quantique

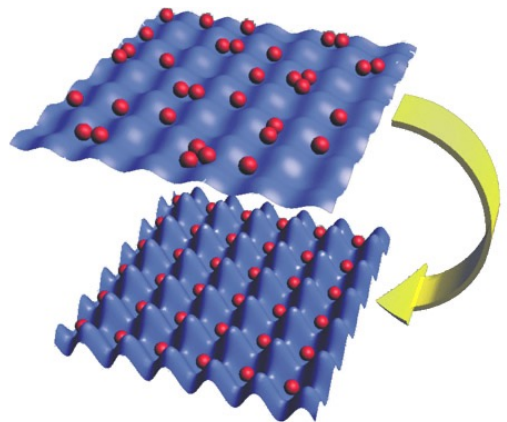
Atomes ultra-froids dans les réseaux optiques

Force dipolaire: $\mathbf{F} \propto -\nabla I(\mathbf{r})$



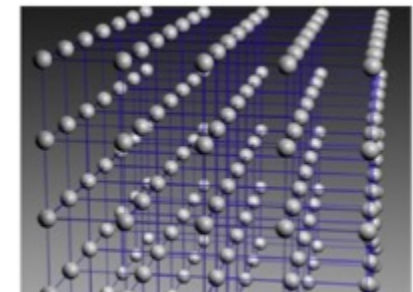
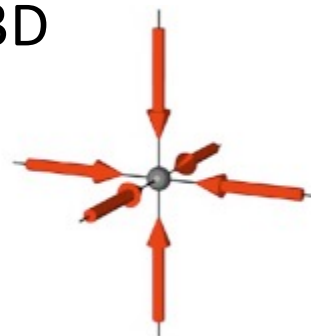
$$I(x) = 2E_0^2(1 + \cos 2kx)$$

Chaque site contient 1 atome !



Boson (Rb, Na, ${}^7\text{Li}$, ${}^{39}\text{K}$, ${}^4\text{He}^*$),
Fermion (${}^6\text{Li}$, ${}^{40}\text{K}$),
Magnetic atoms (Cr, Dy...)

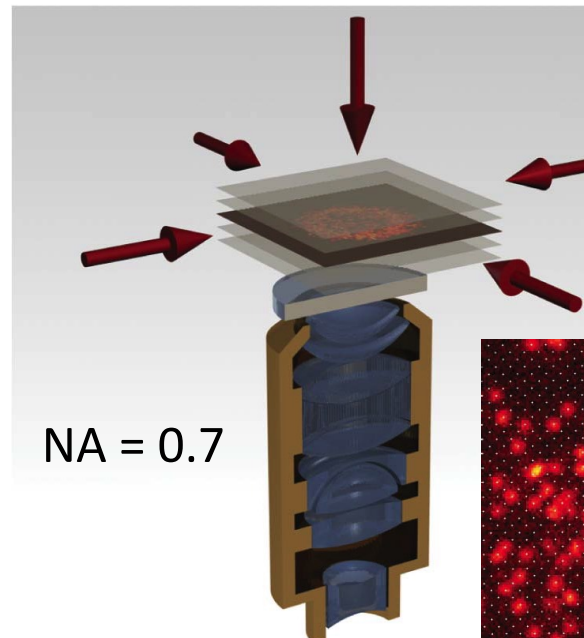
3D



(M. Greiner thesis)

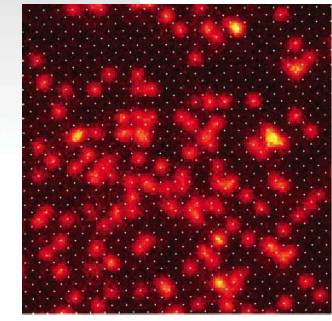
$$\lambda/2 = 0.5 \mu\text{m}$$

Quantum gas microscope



Harvard, MPQ

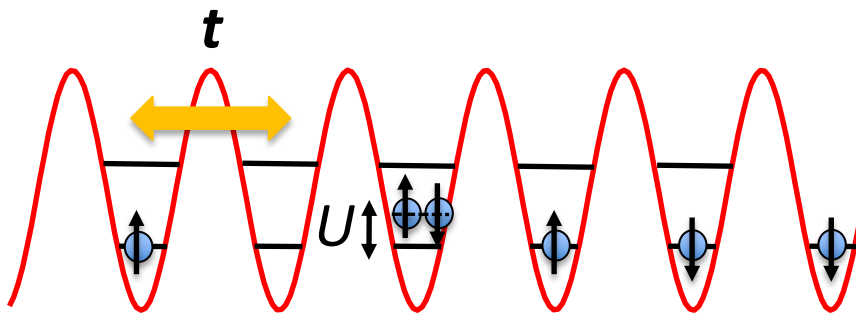
Single-site
resolution
($< 1 \mu\text{m}$)



$$16 \mu\text{m}$$

Réseaux optiques: modèles de Hubbard et de spin

Compétition effet tunnel / interaction



U contrôlable par B !!

Modèles d'Hubbard

$$H = -t \sum_{\langle i,j \rangle} (a_i^\dagger a_j + \text{h.c.}) + \frac{U}{2} \sum_i n_i(n_i - 1)$$

Modèle le plus simple:
conductivité / interaction

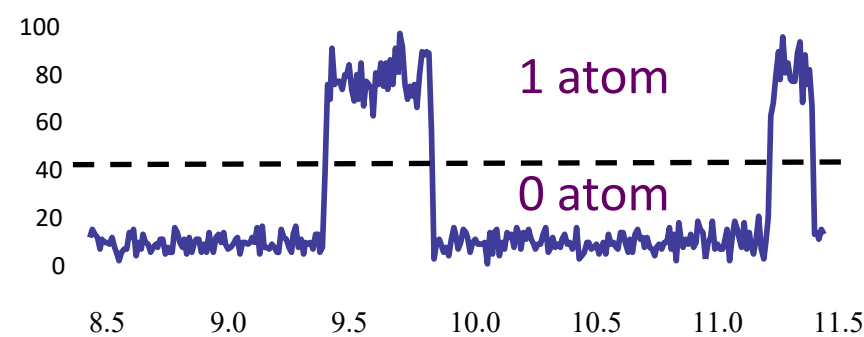
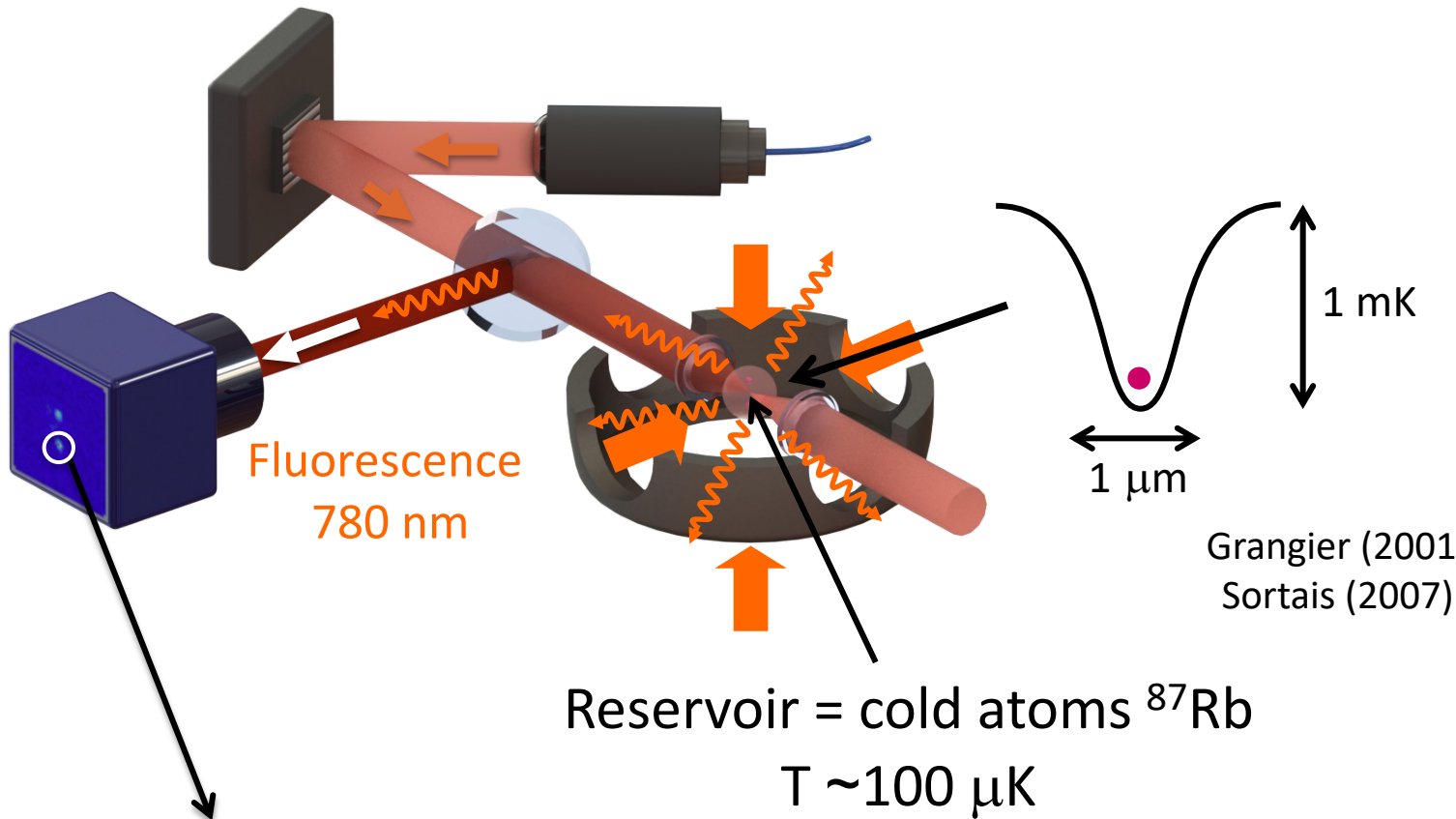
Le programme...

1. Physique à N-corps, simulation quantique et systèmes quantique synthétiques

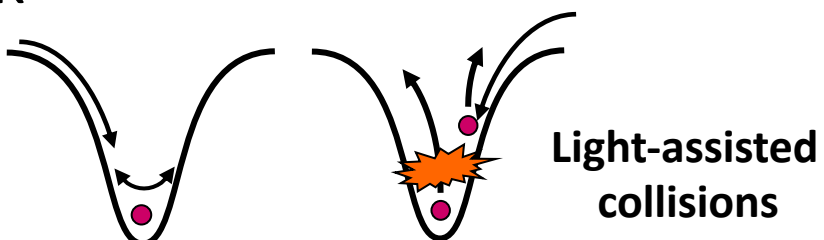
2. Exemples de simulateurs quantiques
 - A. Ions piégés
 - B. Atomes ultra-froids dans des réseaux optiques
 - C. Atomes froids dans des pinces optiques

3. Exemples de simulation quantique

Atomes dans des matrices de pinces optiques

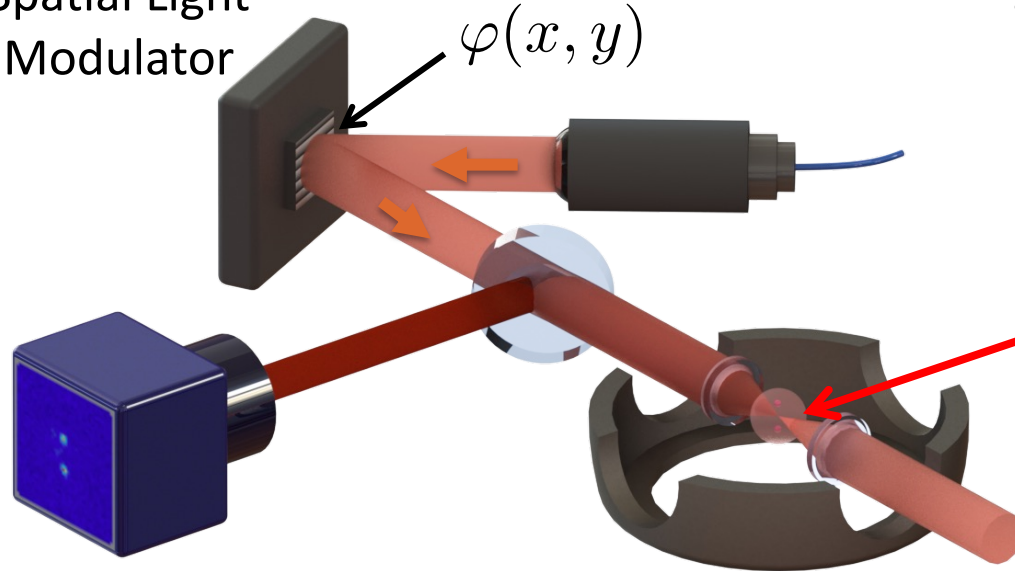


Non-deterministic
single-atom source

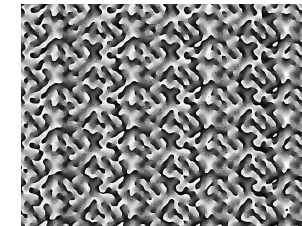


Atomes dans des matrices de pinces optiques

Spatial Light
Modulator



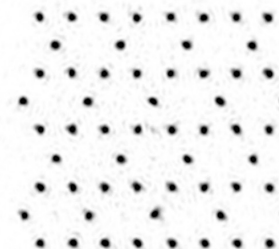
2π
0



SLM pattern

Nogrette, PRX (2014)

$$\left| \text{FT}[e^{i\varphi(x,y)}] \right|^2$$

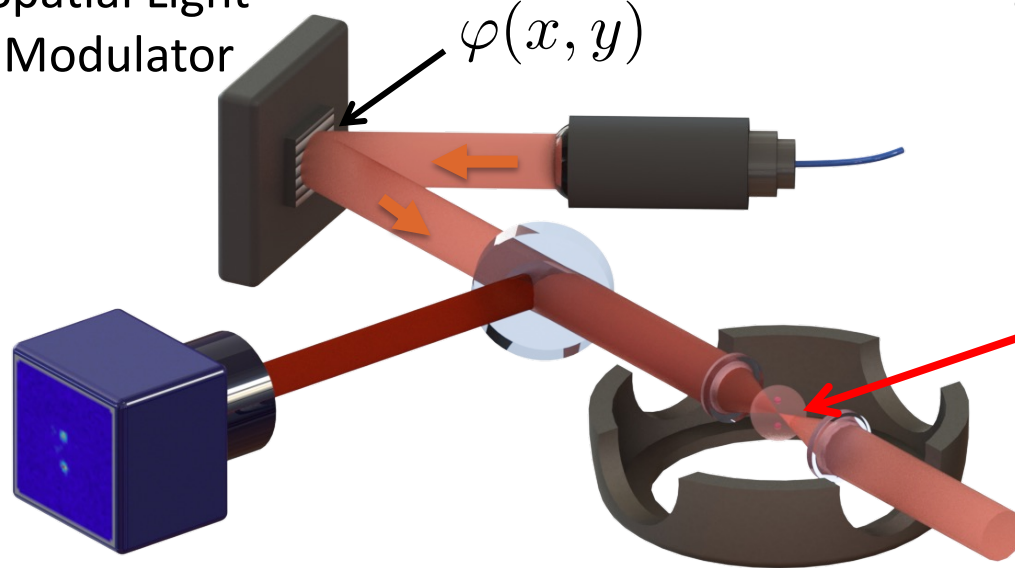


$10 \mu\text{m}$

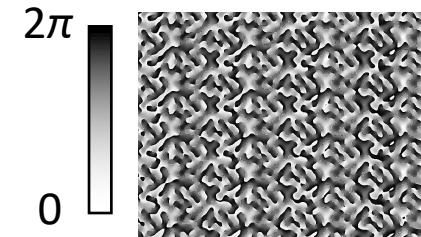
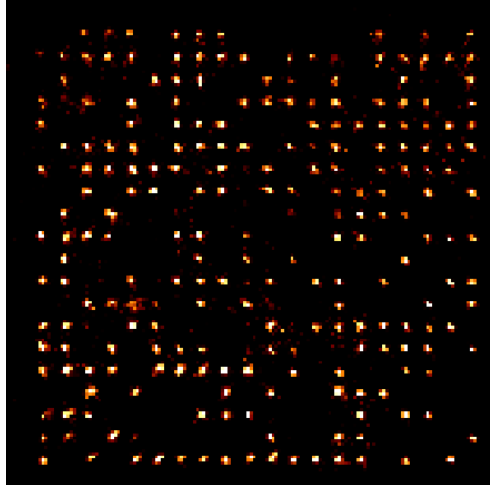


Atomes dans des matrices de pinces optiques

Spatial Light
Modulator



Initial configuration



SLM pattern

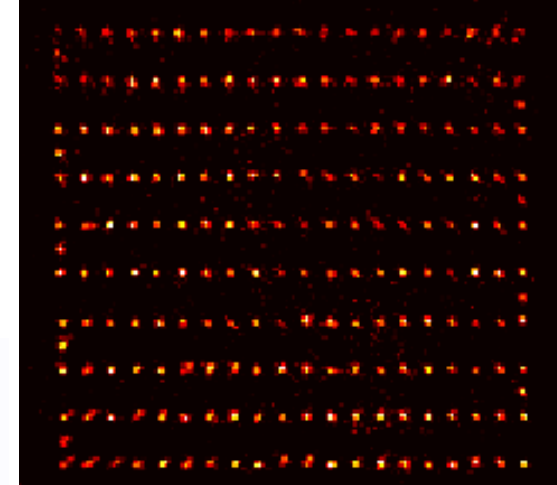
Nogrette, PRX (2014)

$$|\text{FT}[e^{i\varphi(x,y)}]|^2$$

Assembling
process

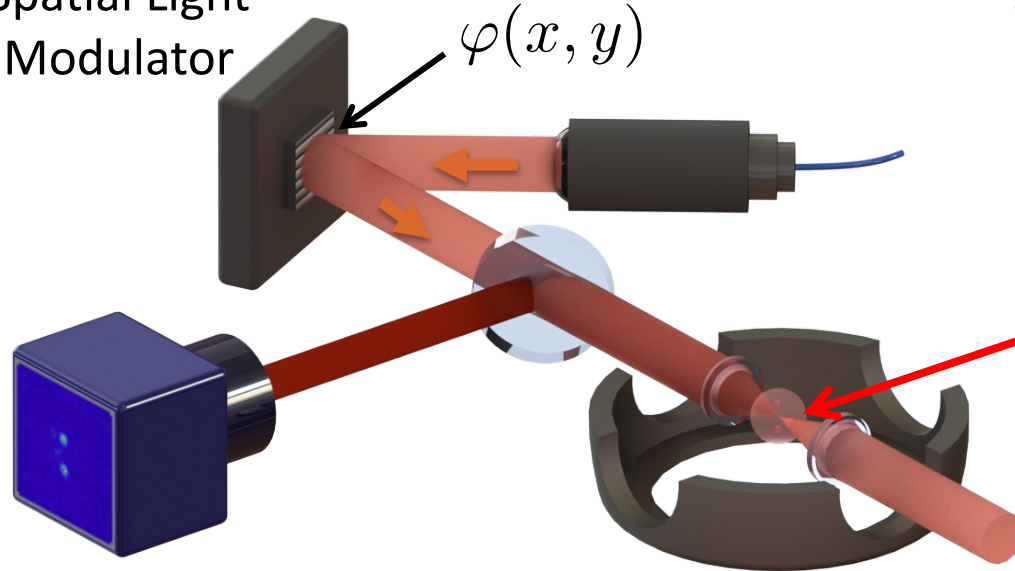


Assembled configuration

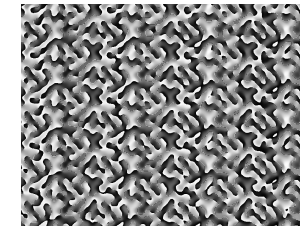


Atomes dans des matrices de pinces optiques

Spatial Light
Modulator



2π
0



SLM pattern

Nogrette, PRX (2014)

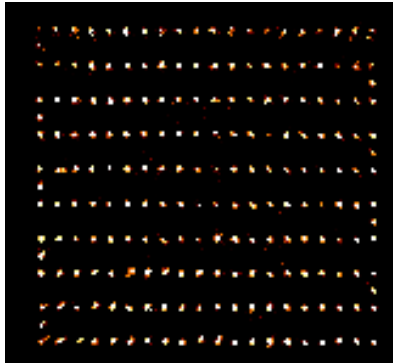
$$\left| \text{FT}[e^{i\varphi(x,y)}] \right|^2$$

L. da Vinci



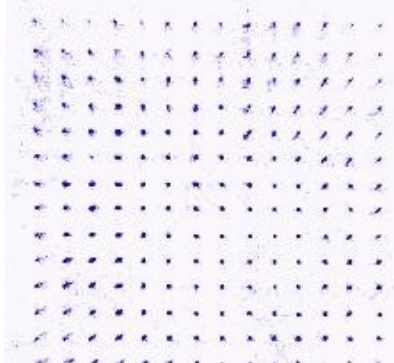
Random

1D

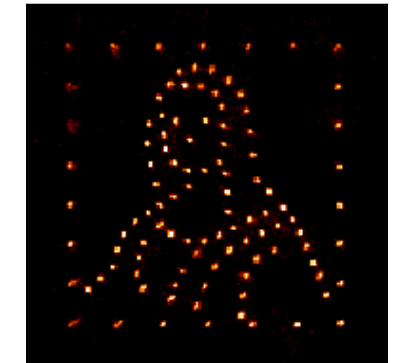
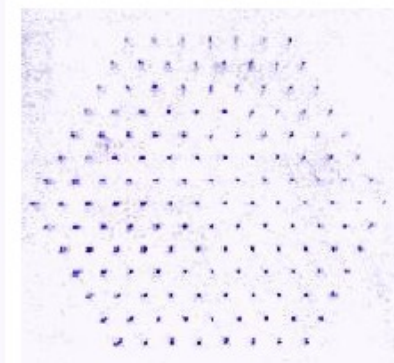


$\sim 100 \mu\text{m}$

2D



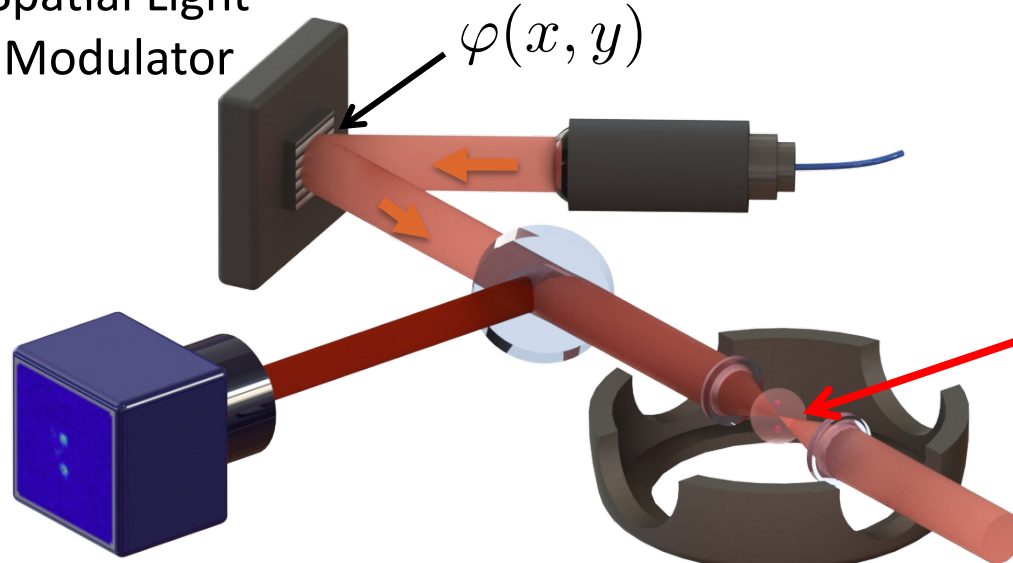
Fluorescence: single shot!!



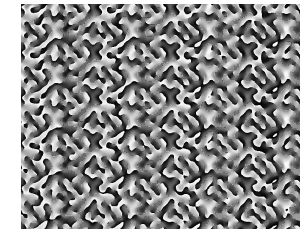
Barredo, Nature 2016 ; Schymik, PRA 2020

Atomes dans des matrices de pinces optiques

Spatial Light
Modulator



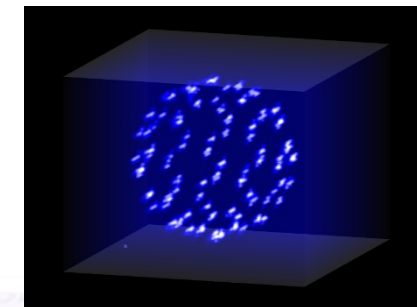
2π
0



SLM pattern

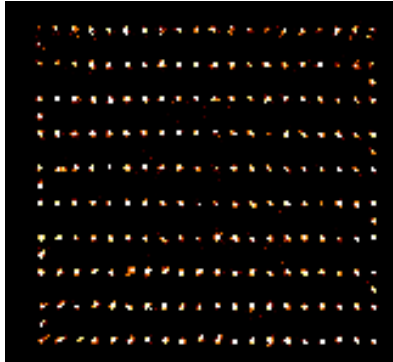
Nogrette, PRX (2014)

$$\left| \text{FT}[e^{i\varphi(x,y)}] \right|^2$$



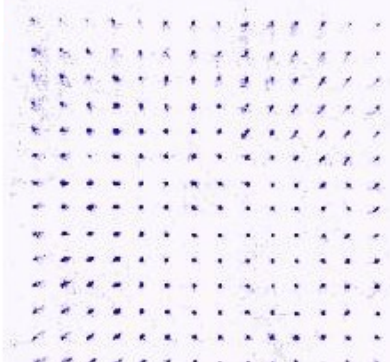
(averaged)

1D

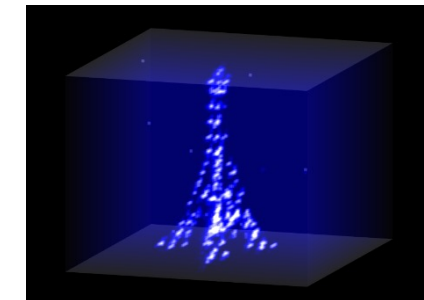
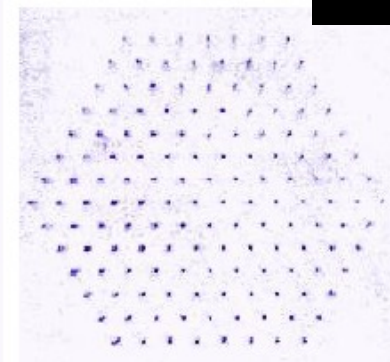


$\sim 100 \mu\text{m}$

2D



Fluorescence: single shot!!



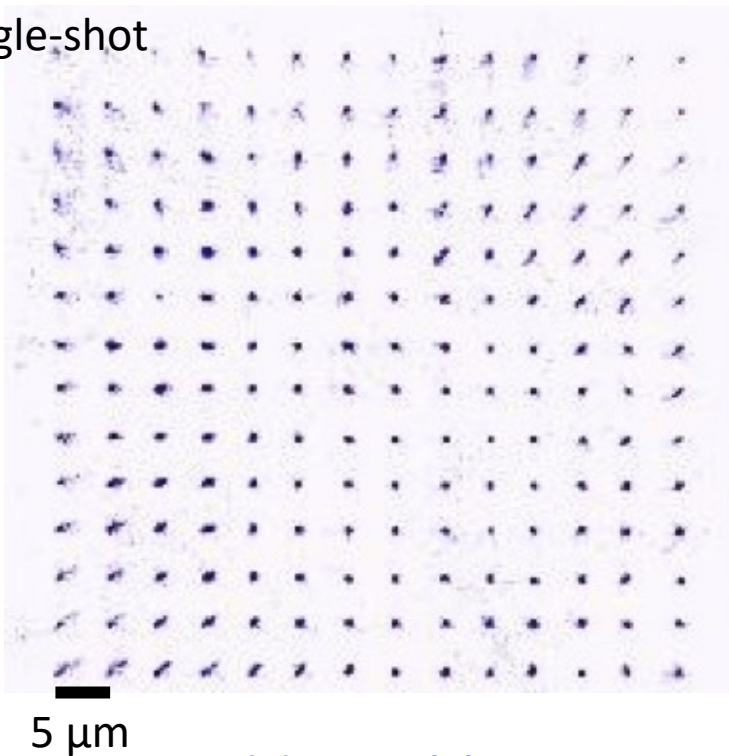
Barredo, Nature (2018)

Barredo, Nature 2016 ; Schymik, PRA 2020

Arrays of interacting Rydberg atoms

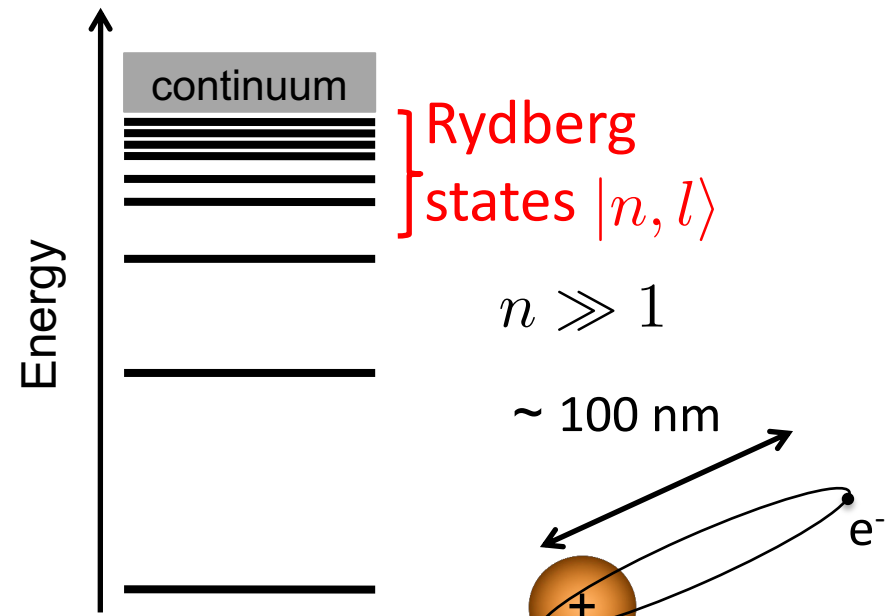
Arrays of atoms

Single-shot



Addressable!!

Rydberg atoms



Lifetime $> 100 \mu\text{s}$

Transition dipole: $d_{n,n\pm 1} \sim n^2 e a_0$

\Rightarrow Large dipole-dipole interactions

$$R = 10 \text{ } \mu\text{m} \Rightarrow V_{\text{int}}/h \sim 1 - 10 \text{ MHz}$$

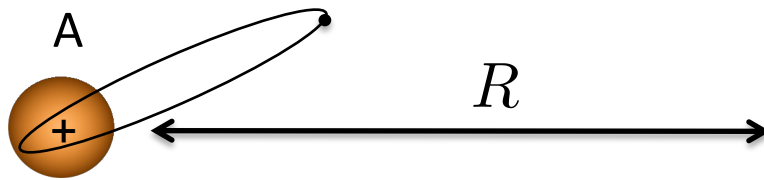
\Rightarrow timescales $< \mu\text{sec}$

Lukin, Zoller 2000

Saffman, RMP 2010

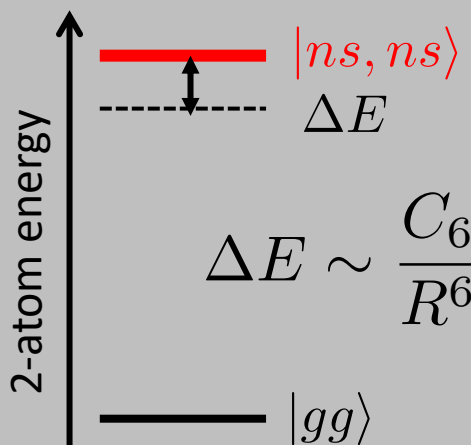
Browaeys, Nat Phys 2020

Interactions between Rydberg atoms and spin models

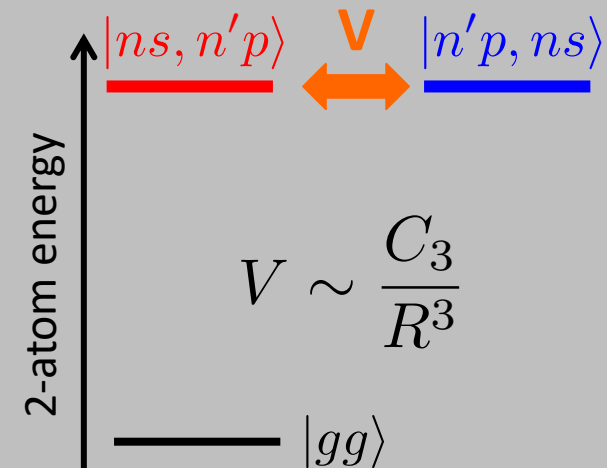


Browaeys & Lahaye, Nat.Phys. (2020)

van der Waals



Resonant dipole



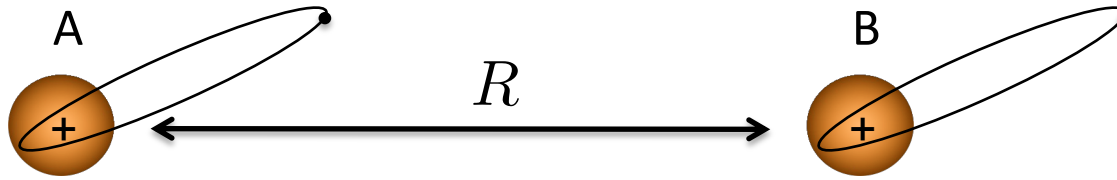
Quantum Ising

$$\hat{H} = \sum_{i \neq j} J_{ij} \hat{\sigma}_z^{(i)} \hat{\sigma}_z^{(j)}$$

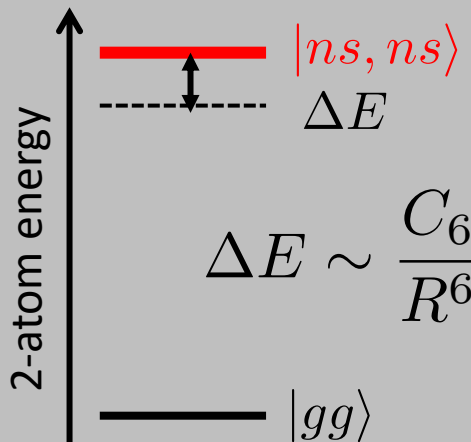
XY model

$$\hat{H} = \sum_{i \neq j} J_{ij} (\hat{\sigma}_i^+ \hat{\sigma}_j^- + \hat{\sigma}_i^- \hat{\sigma}_j^+)$$

From van der Waals interactions to Ising model...



van der Waals

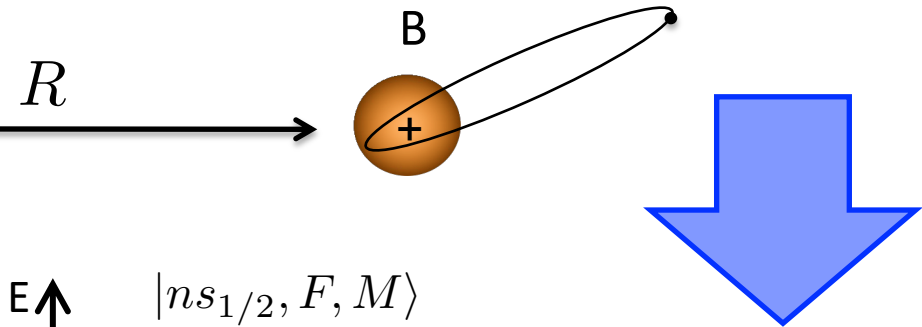
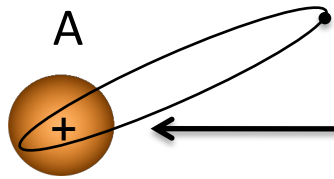


$C_6 \propto n^{11} \Rightarrow$ switchable interaction

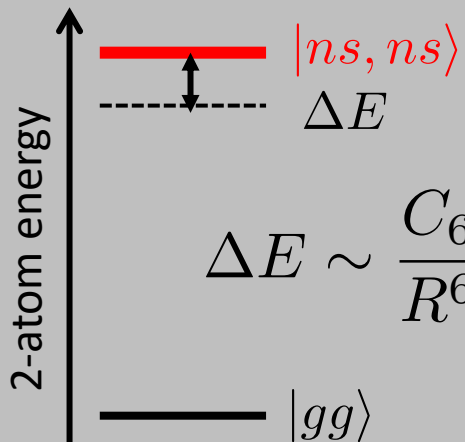
$$\hat{H}_{\text{int}} = \frac{C_6}{R^6} \hat{n}_1 \hat{n}_2 \sim J \hat{\sigma}_1^z \hat{\sigma}_2^z$$

Rydberg occupation number

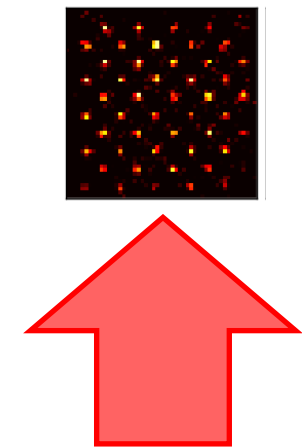
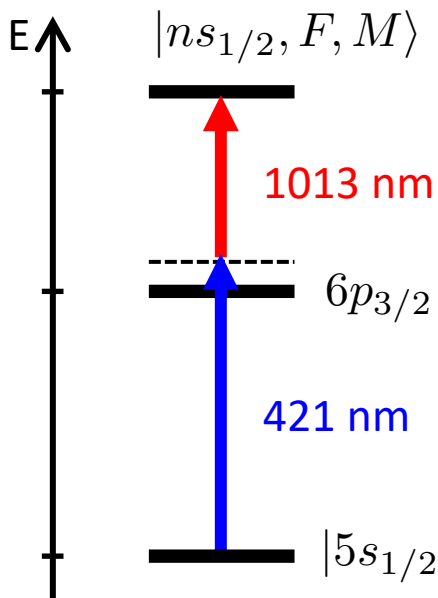
From van der Waals interactions to Ising model...



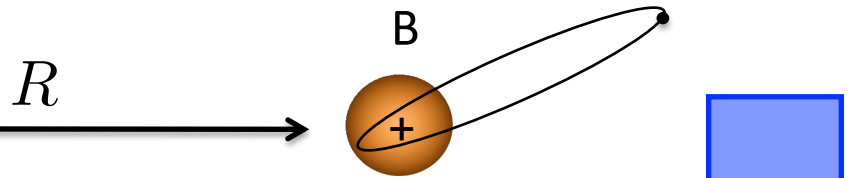
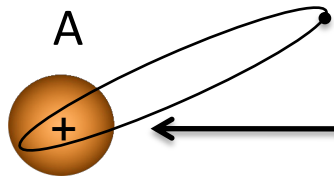
van der Waals



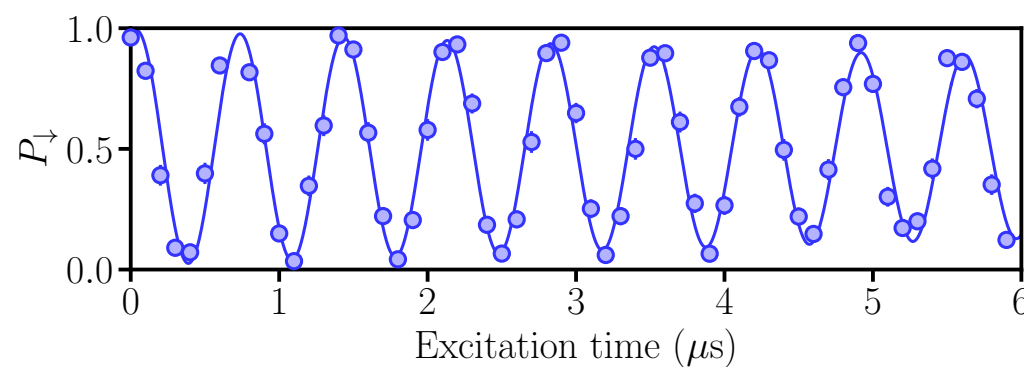
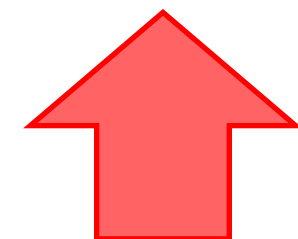
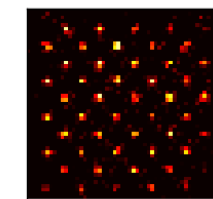
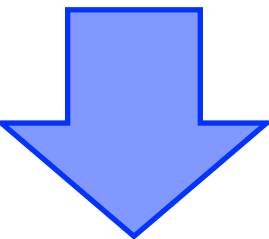
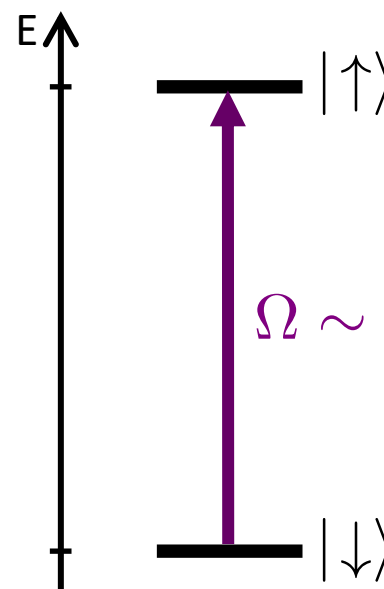
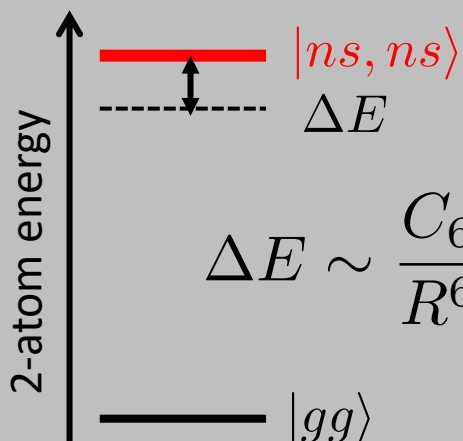
$$\Delta E \sim \frac{C_6}{R^6}$$



From van der Waals interactions to Ising model...

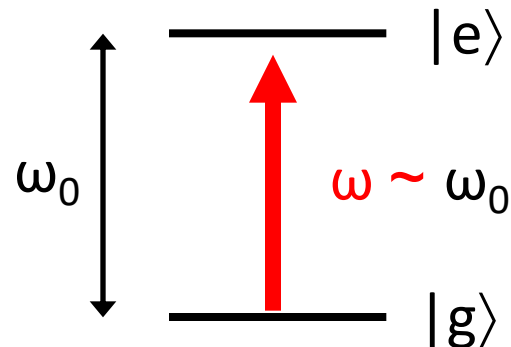


van der Waals

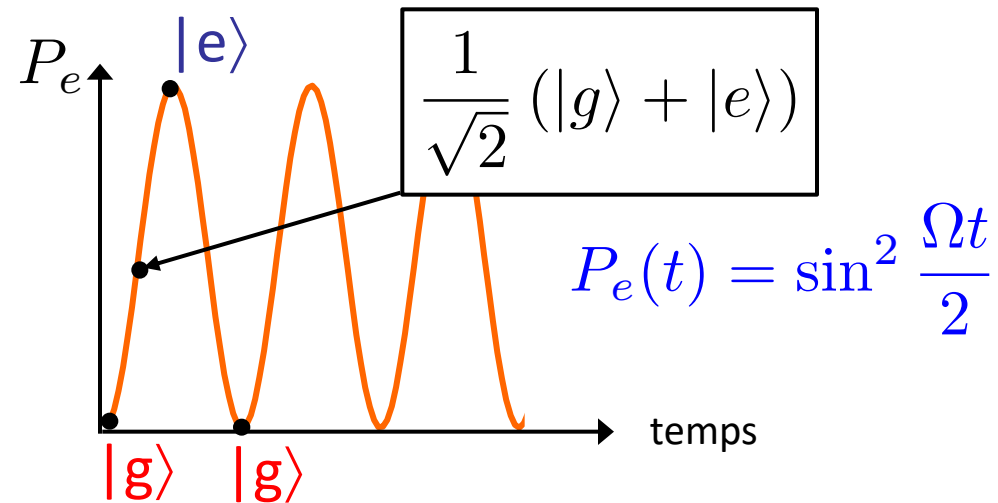


Les oscillations de Rabi à un atome

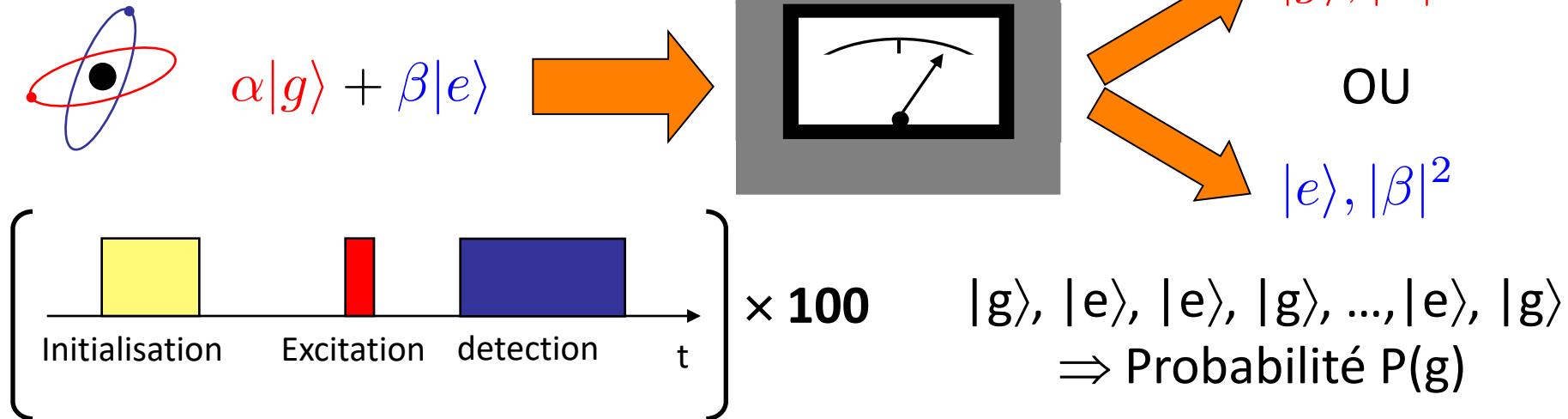
Oscillations de Rabi (1930s!): émission stimulée



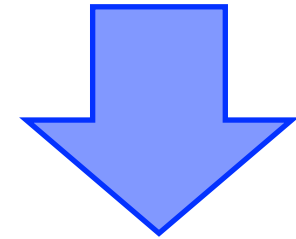
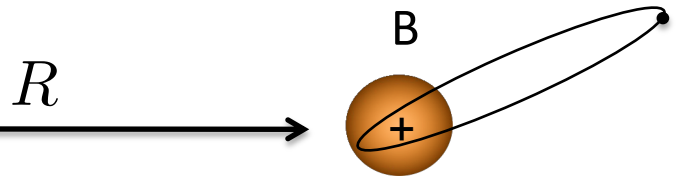
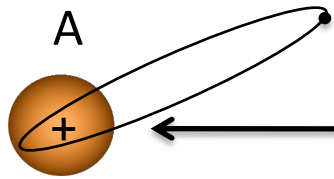
Ω = fréquence de Rabi
 $\propto \sqrt{\text{Intensity}}$



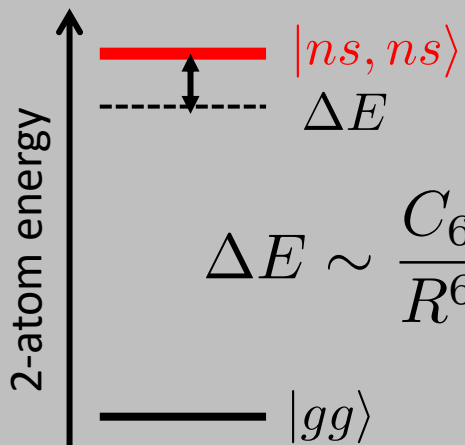
Mesure sur un système individuel



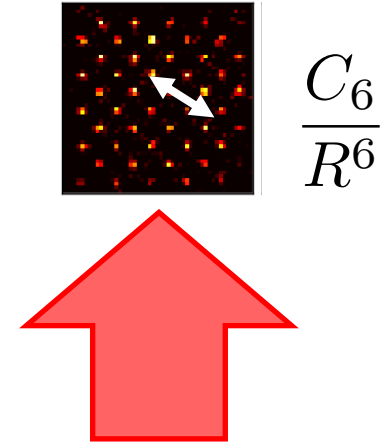
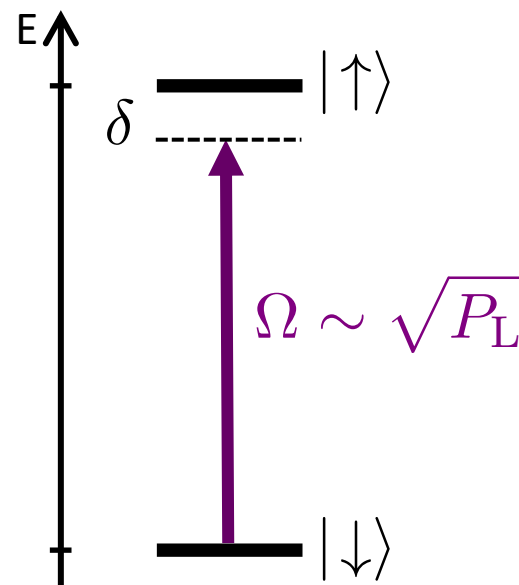
From van der Waals interactions to Ising model...



van der Waals



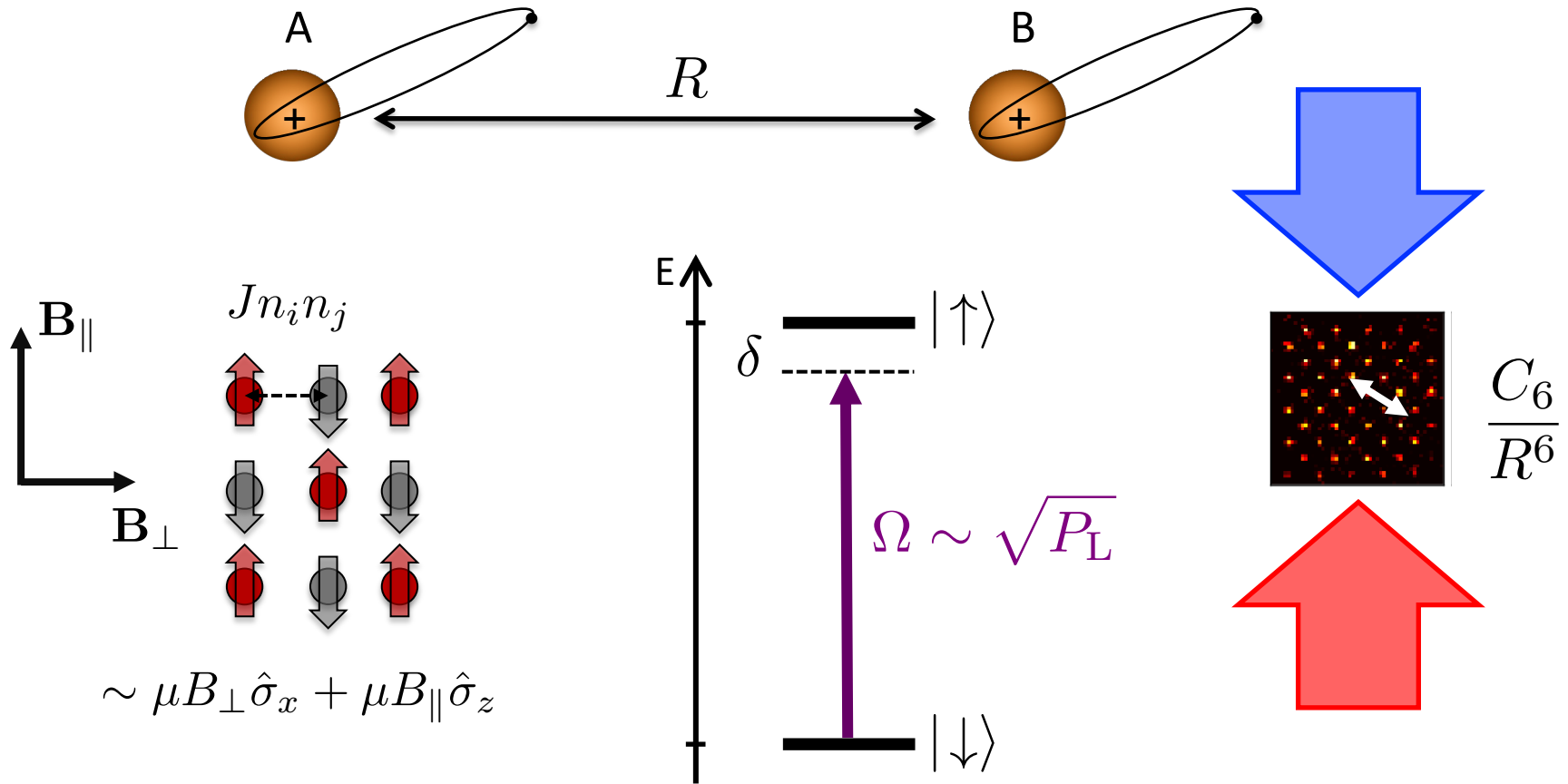
$$\Delta E \sim \frac{C_6}{R^6}$$



Quantum Ising-like model ($s=\frac{1}{2}$):

$$H = \frac{\hbar\Omega}{2} \sum_i \sigma_x^i + \hbar\delta \sum_i \hat{n}_i + \sum_{i < j} \frac{C_6}{R_{ij}^6} \hat{n}_i \hat{n}_j$$

From van der Waals interactions to Ising model...



Quantum Ising-like model ($s=1/2$):

$$H = \frac{\hbar\Omega}{2} \sum_i \sigma_x^i + \hbar\delta \sum_i \hat{n}_i + \sum_{i < j} \frac{C_6}{R_{ij}^6} \hat{n}_i \hat{n}_j$$

Laser: B_{\perp}

B_{\parallel}

Spin-spin interaction

Experiment.

$$\frac{C_6/a^6}{\Omega} = [0 - 20]$$

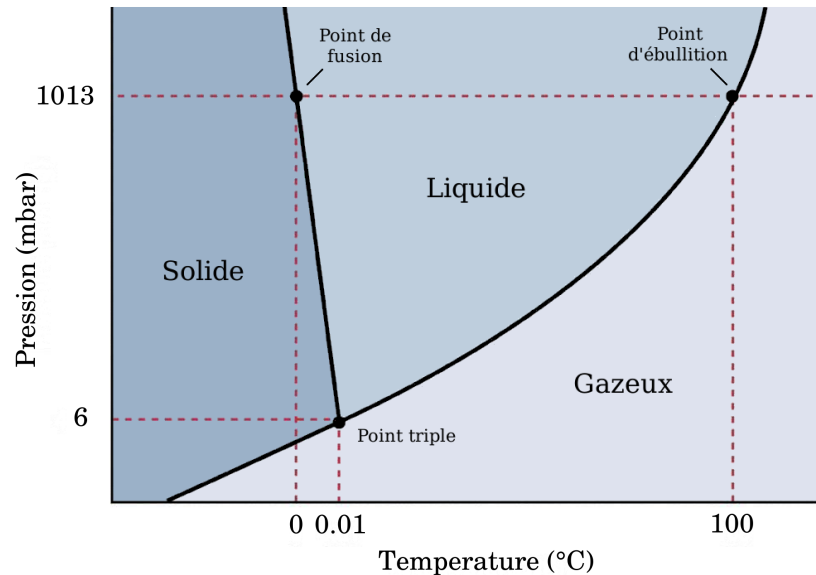
Le programme...

1. Physique à N-corps, simulation quantique et systèmes quantique synthétiques
2. Exemples de simulateurs quantiques: ions et atomes
3. Exemples de simulation quantique
 - A. Exploration du diagramme des phases
 - B. Dynamique hors-équilibre

Diagramme des phases

Etat fondamental d'un système en fonction de paramètres de contrôle

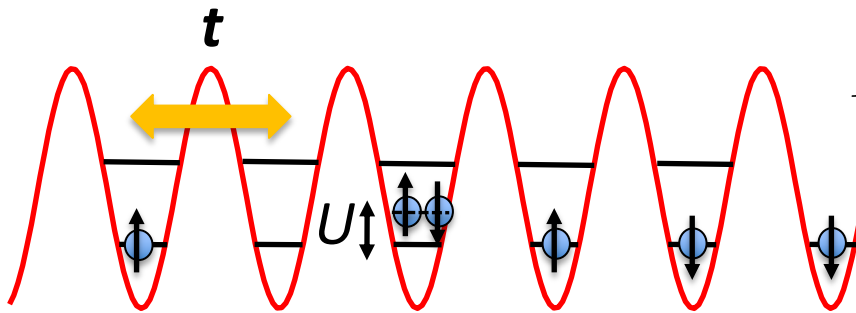
Diagramme des phases de l'eau (P, T)



Système quantique: $\langle \Psi_f | O | \Psi_f \rangle(T, B, M\dots)$

Atoms in optical lattices implements Hubbard models

Competition tunneling / interaction

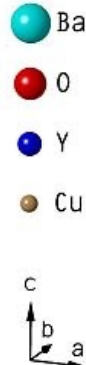
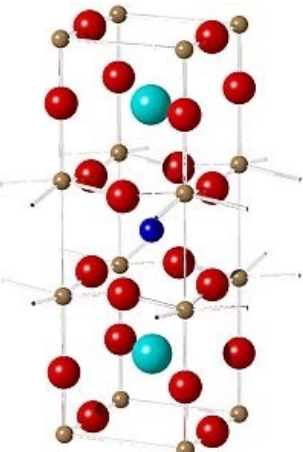


$$H = -t \sum_{\langle i,j \rangle, \sigma} (c_{i\sigma}^\dagger c_{j\sigma} + \text{h.c.}) + U \sum_i n_{i\downarrow} n_{i\uparrow}$$

Fermi-Hubbard models

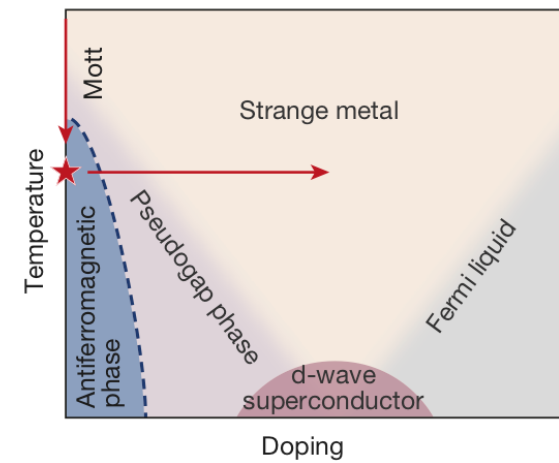
U tunable by B-field!!

The simplest model to describe interplay conductivity / interactions



$\text{YBa}_2\text{Cu}_3\text{O}_7$
 $d \sim 0.4 \text{ nm}$
 $T_c = 92 \text{ K}$

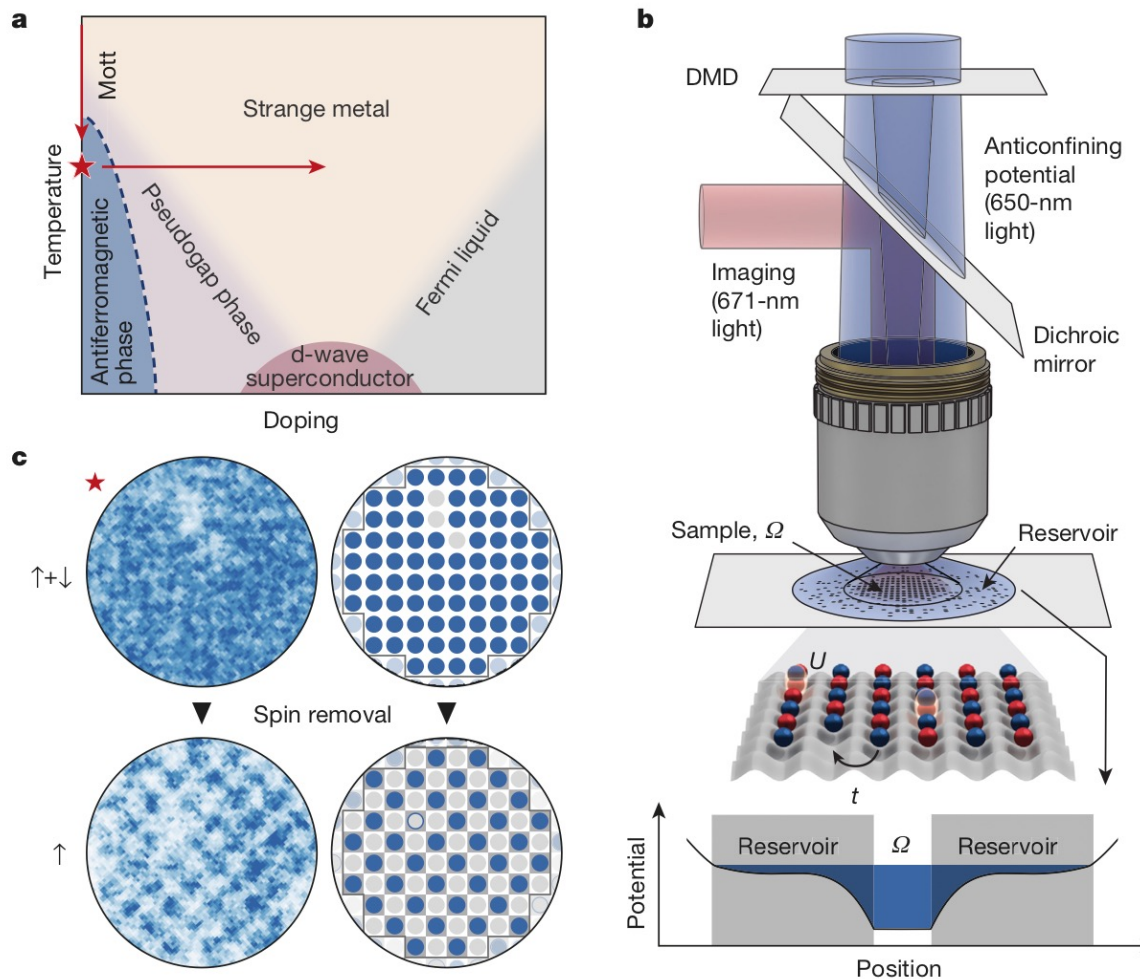
YET: not solved!



Believed to explain high- T_c superconductivity

Accessing the AF phase using a quantum simulator

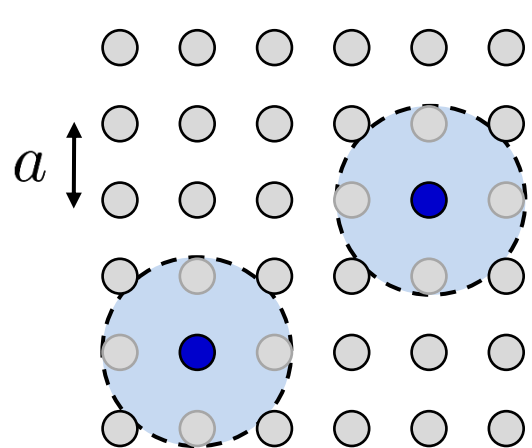
Greiner, Nature 2017



Also: Bloch (MPQ), M. Koehl (Bonn), Kuhr (Glasgow), Zwierlein (MIT), Thywissen (Toronto)...

2D Ising anti-ferromagnet on a square

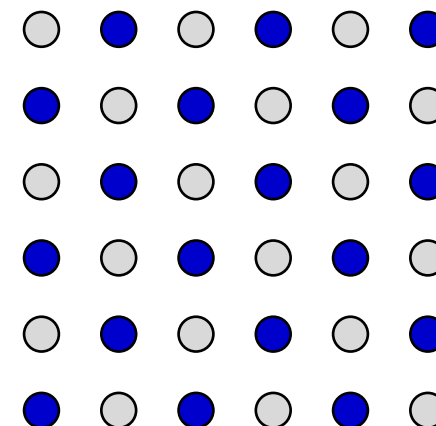
Nearest neighb. interaction



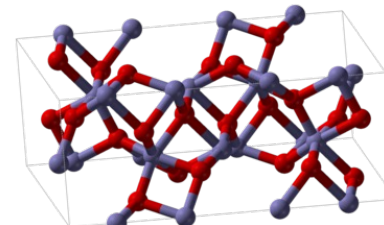
$$\frac{C_6}{a^6} \sim \Omega$$

$$\begin{aligned}\circ &= |g\rangle \\ \bullet &= |r\rangle\end{aligned}$$

Anti-ferromagnetic ground state

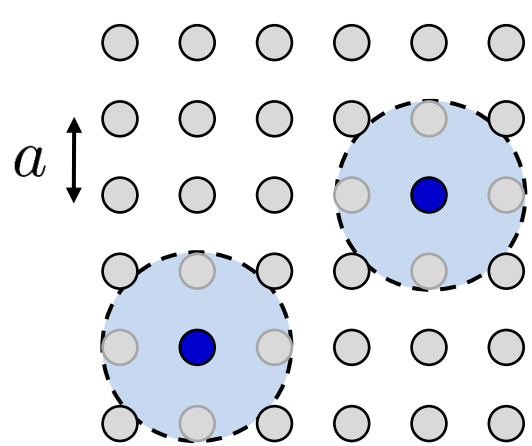


Ex of antiferromagnets: MnO, FeO, CoO, NiO, FeCl₂...



2D Ising anti-ferromagnet on a square

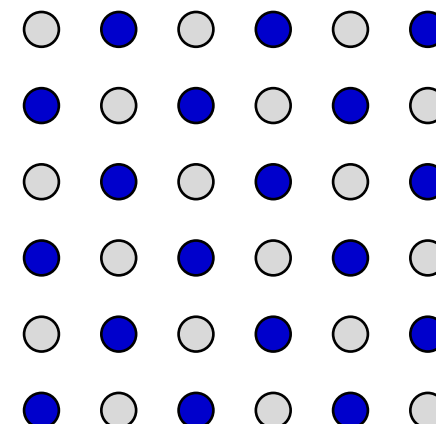
Nearest neighb. interaction



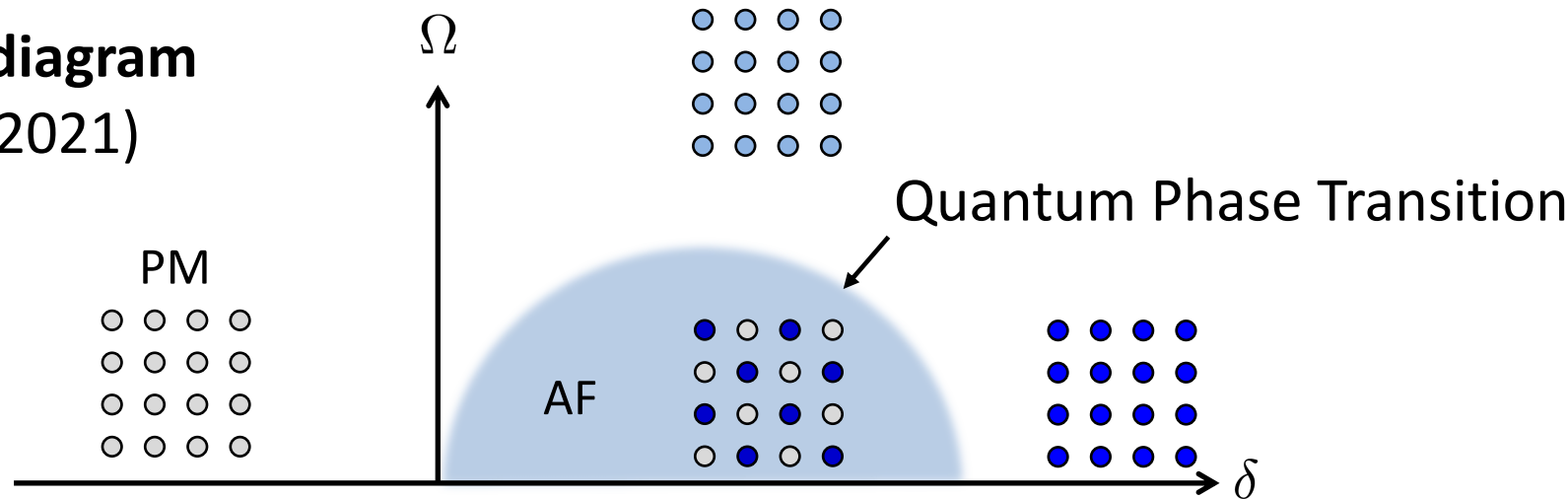
Anti-ferromagnetic ground state

$$\frac{C_6}{a^6} \sim \Omega$$

$\circ = |g\rangle$
 $\bullet = |r\rangle$

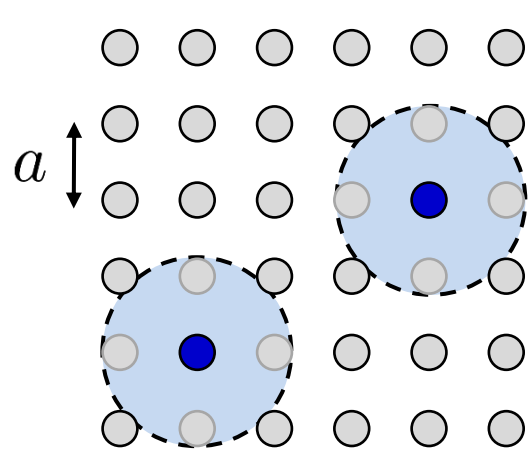


2D phase diagram
(1970 - 2021)

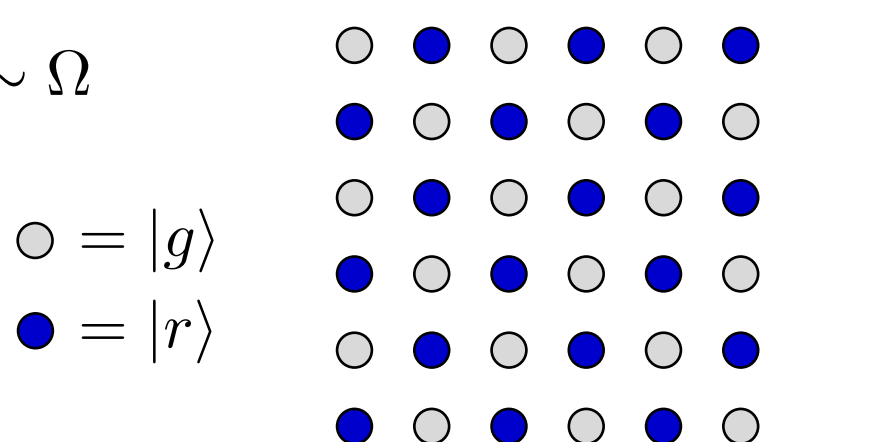


2D Ising anti-ferromagnet on a square

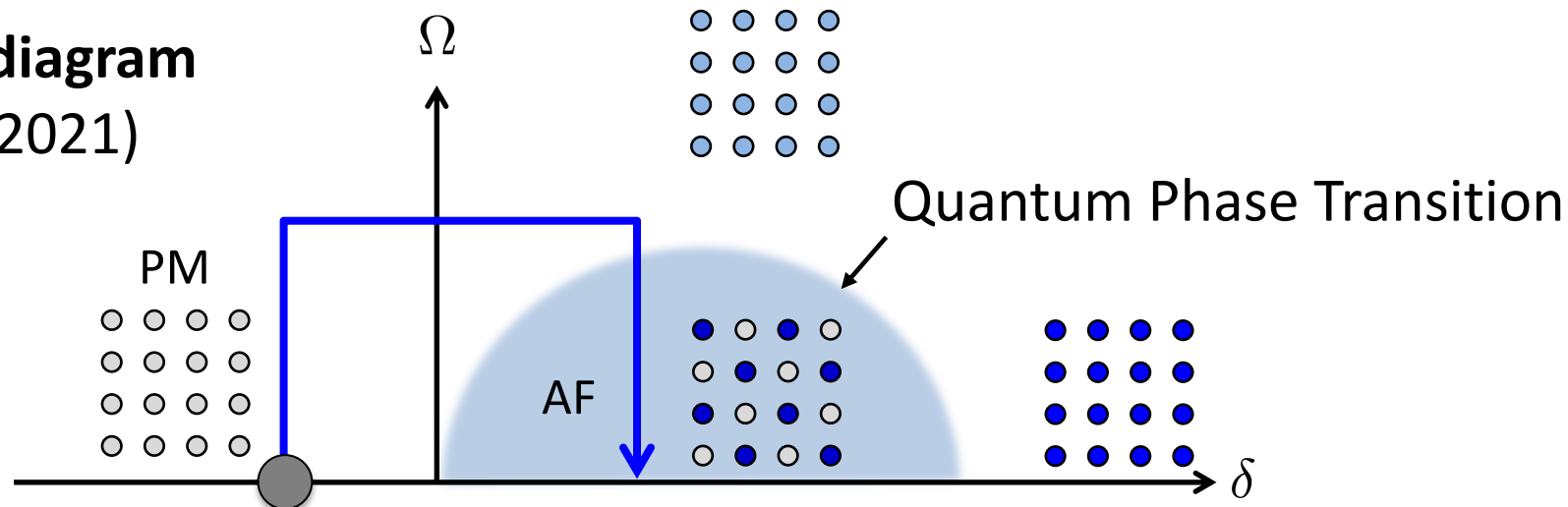
Nearest neighb. interaction



Anti-ferromagnetic ground state



2D phase diagram
(1970 - 2021)

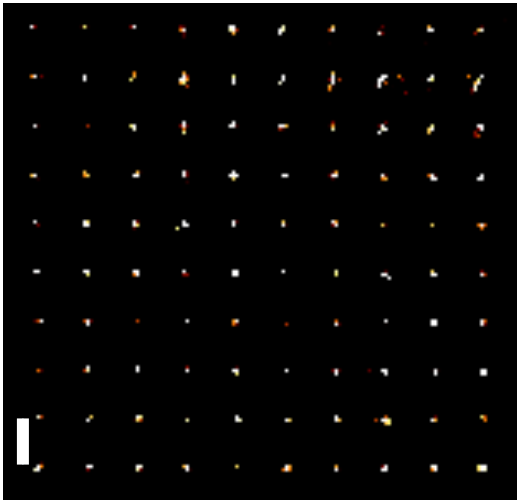


$$H = \sum_i \left(\frac{\hbar\Omega(t)}{2} \sigma_x^i - \hbar\delta(t) \hat{n}_i \right) + \sum_{i < j} \frac{C_6}{R_{ij}^6} \hat{n}_i \hat{n}_j$$

Preparation of a 2D Ising anti-ferromagnet on a square

10 × 10 square array

10 μm

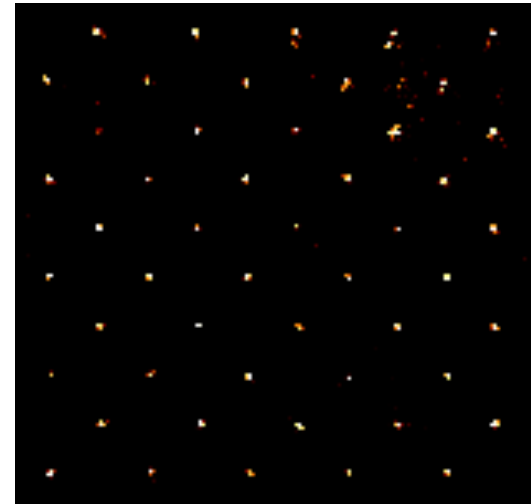


$\Omega(t), \delta(t)$

sweep

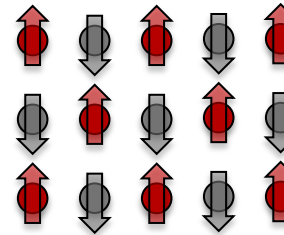
= $|g\rangle$ bright
 = $|r\rangle$ dark

Scholl et al. Nature (2021)



$n=75\text{s}$

Perfect AF (Néel) ordering!

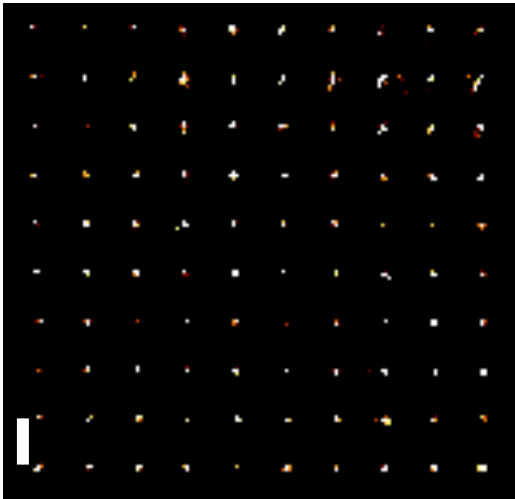


1D: Pohl PRL 2010; Bloch Science 2015; Lukin Nature 2017, 2019;
2D: Lienhard PRX 2018, Bakr PRX 2018; Lukin Nature 2021

Preparation of a 2D Ising anti-ferromagnet on a square

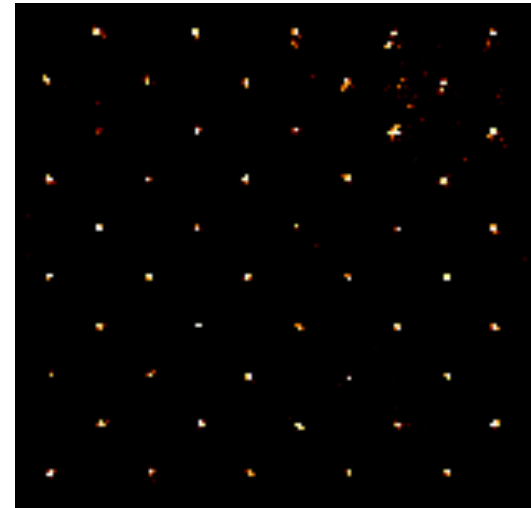
10 × 10 square array

Scholl et al. Nature (2021)



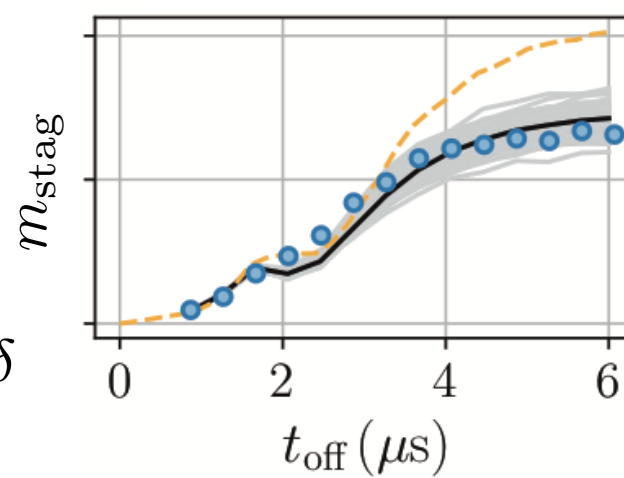
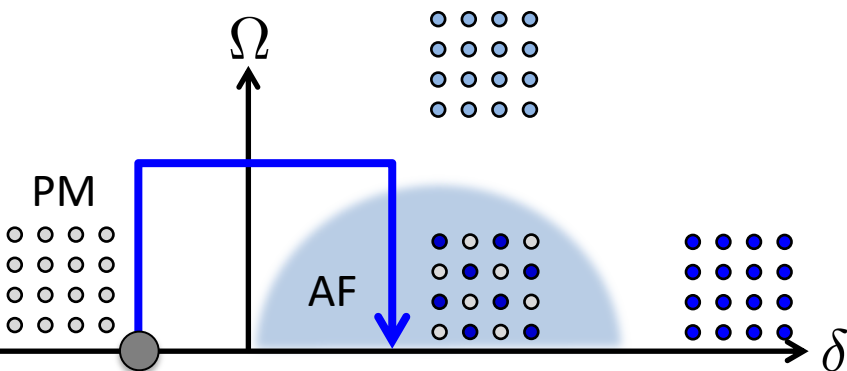
$\Omega(t), \delta(t)$

sweep



10 μm

Staggered magnetization: $m_{\text{stag}} = \langle |n_A - n_B| \rangle$



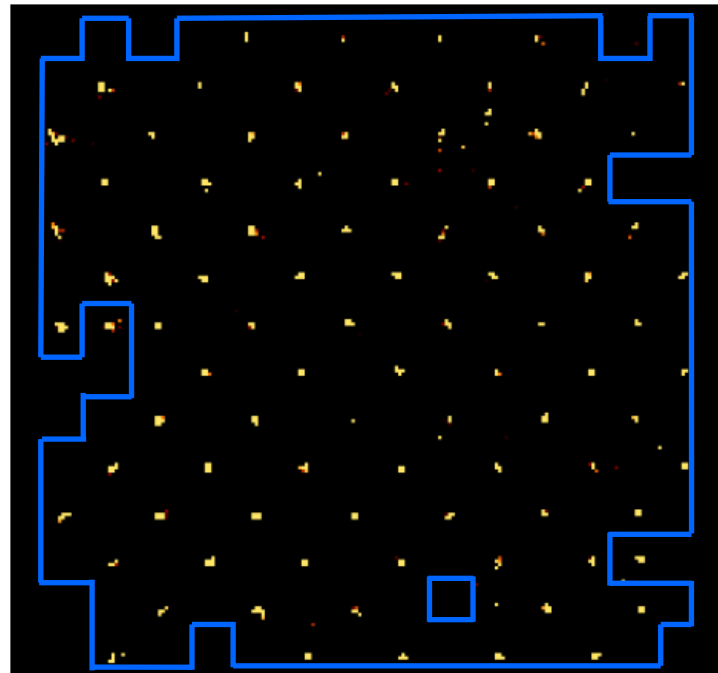
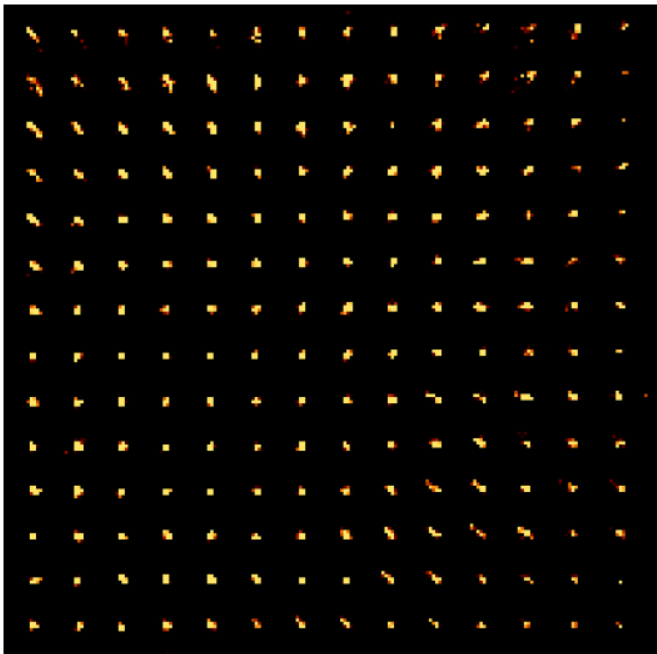
Accurate
MPS limited
to 10 x 10
(14 days!!)

Including experimental imperfections: $U_{ij}, \Omega_i, \delta_i$, real ramp...

Preparation of a 2D Ising anti-ferromagnet on a square

Scholl et al. Nature (2021)

14x14 square array

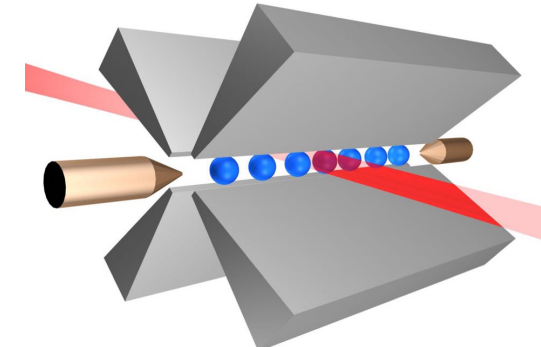
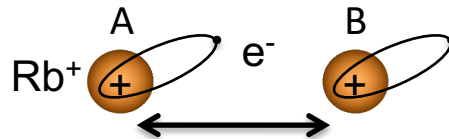
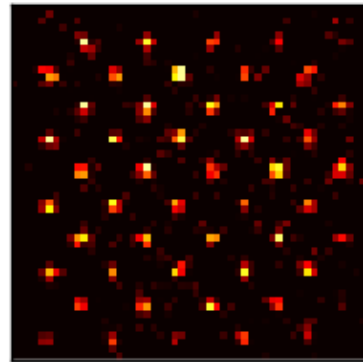
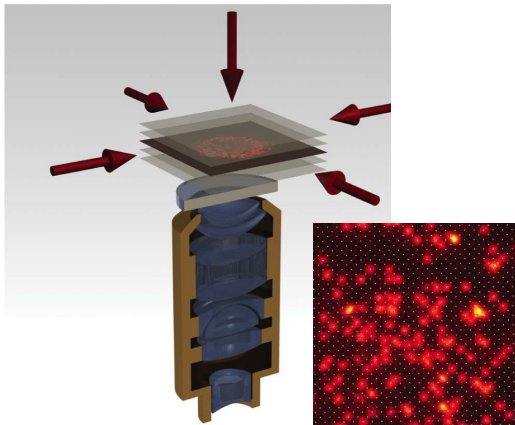


182-atom antiferromagnetic cluster!

2022: Data beyond $N > 100$ to test of new tensor network methods...!!

Conclusion

Useful quantum simulators already exist, and challenge theory!!



A very active field internationally

Programmable Atomic Large-Scale Quantum Simulation
(10 groups + 5 industries, coord.: A. Browaeys & I. Bloch)

Startups recently created to develop industry graded simulators



Applications: scientific computing, optimization in finance and industry...

Conclusion: Quantum Simulators can do more...!

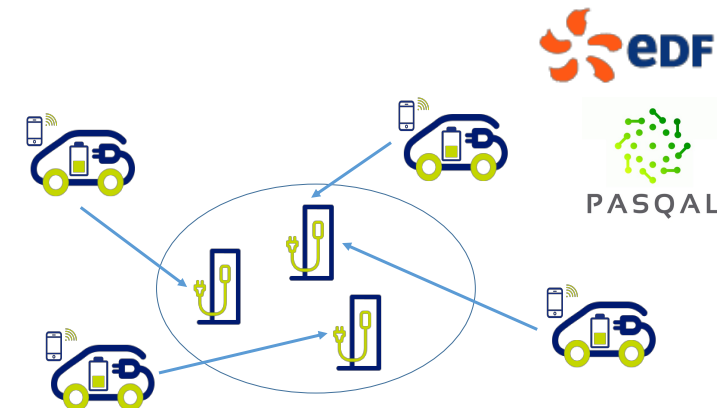
Quant. sim. = machine to prepare quantum states

Optimization problems

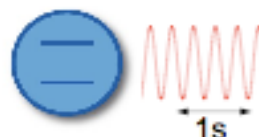
Mapped onto Ising model

$$H = \sum_i h_i n_i + \sum_{i < j} J_{ij} n_i n_j , \quad n_i = 0, 1$$

Solution = ground-state



Quantum metrology

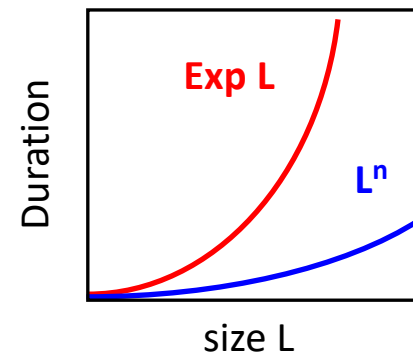


$$\frac{\Delta\nu}{\nu_0} \propto \frac{1}{\sqrt{N}}$$

Entangled states →

$$\frac{\Delta\nu}{\nu_0} \propto \frac{1}{N}$$

Quantum computer (long-term...)

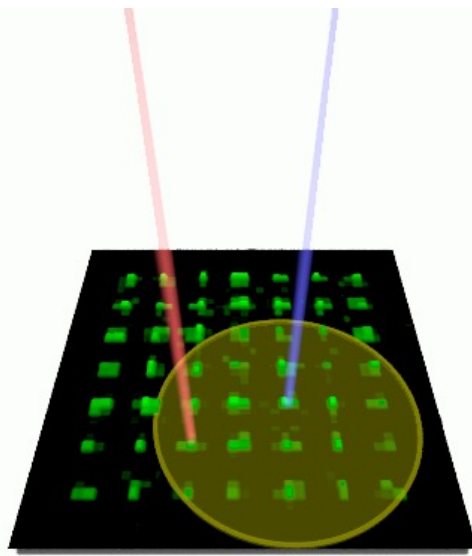


Outlook: towards Industrial Simulators



PASQAL

www.pasqal.io



Rydberg based
technology

- Founded april 2019 (90 staff sept. 2022)
- **Applications:** scientific computing, optimisation in finance, industries...
- Software et hardware

USA



From a lab experiment to an industrial machine...



Jobs opportunities !!

References:

- “Quantum Simulation”, I.M. Georgescu *et al.*, Rev. Mod. Phys. **49**, 153 (2014)
- “Quantum Simulation with ultra-cold atoms in optical lattices”, C. Gross and I. Bloch., Science **357**, 995 (2017)
- “Many-Body Physics with individually controlled Rydberg Atoms”, A. Browaeys and T. Lahaye, Nat. Phys. **16**, 132 (2020)
- “Programmable quantum simulation of spin systems with trapped ions”, C. Monroe *et al.*, arXiv:1912.07845

